

6 – 1 東海地方の地殻変動

Crustal Deformations in the Tokai District

国土地理院
Geospatial Information Authority of Japan

[GNSS と水準測量の比較 御前崎]

第 1 図は、電子基準点間の比高変化について、水準測量の結果と GNSS 連続観測結果を比較したものである。両者はほぼ同様の傾向を示しており、最新のデータは従来の長期的な沈降傾向に沿っている。なお、(5)において 2009 年の夏に見られる飛びは、2009 年 8 月 11 日に発生した駿河湾の地震に伴う御前崎 A 観測点の局所的な地盤変動によるものである。

[GNSS 上下 高精度比高観測 御前崎]

第 2 ~ 5 図は、掛川～御前崎間における高精度比高観測（GNSS 連続観測）の結果である。なお、これらの図は 2022 年 7 月 23 日までのデータで作成している。

第 2 図は、高精度比高観測点間の比高変化について、水準測量の結果と GNSS 連続観測結果を比較したものである。両者はほぼ同様の傾向を示しており、最新のデータは従来の長期的な沈降傾向に沿っている。なお、(2) の H 下板沢 – H 下朝比奈 2 の基線で 2016 年半ば、及び 2022 年春頃以降に見られる隆起は、H 下朝比奈 2 観測点周辺の樹木の繁茂による見かけ上のものである。また、全基線で 2020 年春以降に沈降を示しているが、10 月 1 日に H 下板沢観測点周辺の樹木の伐採が行われた後は以前の値に戻っており、観測点周辺の樹木の繁茂による見かけ上の変化と考えられる。

第 3 図 (b) の比高変化グラフでは、H 下板沢観測点に対して御前崎側の観測点が長期的な沈降の傾向にあることが見てとれる。なお、(3) H 下板沢 – H 下朝比奈 2 の基線で 2016 年半ば、及び 2022 年春頃以降に見られる隆起は、H 下朝比奈 2 観測点周辺の樹木の繁茂による見かけ上のものである。また、全基線で 2020 年春以降に沈降を示した後に以前のレベルに戻っているが、これらは H 下板沢観測点周辺の樹木の生長、その後枝払い（2020 年 10 月 1 日）による見かけ上のものである。

第 4 図に、各高精度比高観測点の H 下板沢観測点に対する比高変化について、1か月ごと及び 10 日ごとの平均値を示している。各図の右に各点の上下変動速度（マイナスは沈降）が記されている。特段の傾向の変化は見られない。なお、全基線で 2020 年春以降に沈降を示した後に以前のレベルに戻っているが、これらは H 下板沢観測点周辺の樹木の生長、その後枝払い（2020 年 10 月 1 日）による見かけ上のものである。また、98H004（H 地頭方 1）では 2021 年に入つて隆起を示した後に以前のレベルに戻っているが、これらは H 地頭方 1 観測点周辺の樹木の生長、その後枝払い（2021 年 5 月 26 日）による見かけ上のものである。98H010（H 下朝比奈 2）では 2022 年春頃から隆起が見られるが、H 下朝比奈 2 観測点周辺の樹木の生長による見かけ上のものである。

第 5 図左は、H 細谷観測点に対する各点の比高について、1か月平均値と 3 か月前の 1 か月平均値との差を、最近 3 年間にについて示したものである。特段の傾向の変化は見られない。なお、上から 7 段目と 9 段目の図において、98H023（H 下板沢）は H 下板沢観測点周辺の樹木の生長

による見かけ上の変化と考えられる。また、最上段の図において 98H010（H 下朝比奈 2）に見られる隆起は、H 下朝比奈 2 観測点周辺の樹木の生長による見かけ上の変化と考えられる。

なお、国土地理院では、高精度比高観測（HI5 解析）を 2022 年中に終了する方針とし^(*)、第 3～5 図で用いている観測点については H 下板沢観測点を除き移転を予定している。そのため、2022 年 8 月以降のモニタリングは第 3～5 図に相当する資料を近傍の電子基準点を用いて F5 解で作成したもの（第 6～8 図）で行うこととした。

（*）高精度比高観測（HI5 解析）は 2022 年 11 月 22 日をもって解析を終了した。

[GNSS 上下 御前崎]

第 6 図 (b) の比高変化グラフでは、掛川 A 観測点に対して御前崎側の観測点が長期的な沈降の傾向にあることが見てとれる。

第 7 図に、各電子基準点の掛川 A 観測点に対する比高変化について、1か月ごと及び 10 日ごとの平均値を示している。各図の右に各点の上下変動速度（マイナスは沈降）が記されている。特段の傾向の変化は見られない。

第 8 図左は、掛川 A 対する各点の比高について、1か月平均値と 3 か月前の 1 か月平均値との差を、最近 3 年間について示したものである。特段の傾向の変化は見られない。

第 8 図右は、同様に掛川 A 観測点に対する各点の比高の 1 か月平均値の前月との差を、最近 1 年間について示したものである。特段の傾向の変化は見られない。

[森～掛川～御前崎間の上下変動 水準測量]

第 9～15 図は東海地方（森町～御前崎市間）の水準測量結果である。最新の観測は 2022 年 5～6 月である。

第 9 図の最上段は、最新の観測結果と 1 年前の同時期の観測結果の差による各水準点の上下変動である。最新の結果では特段の変動は見られない。

第 10 図は、掛川市（140-1）から見た御前崎市（2595）の上下変動時系列である。上のプロットが生の観測値による時系列、下のプロットが年周成分を除去した後の時系列である。2000 年夏以前の SSE 開始よりも前の沈降の速度と比較して、SSE 進行期にある 2000 年秋頃から 2005 年夏頃までと 2013 年初頭から 2017 年春頃までは沈降速度が速かったが、SSE が停止した 2017 年春頃以降は、2000 年夏よりも前の沈降速度にほぼ戻ったように見える。

第 11 図は、前の観測結果について、最新の変動が従来のトレンド（傾き）上にのっているかどうか等を、できるだけ定量的に評価するための資料である。2000 年秋～2005 年夏の SSE 進行期とその開始前及び停止後、さらに 2013 年初頭からの SSE 再開後の進行期及び停止以降の 5 つの期間に分けて、トレンドを推定した後、年周成分を推定した。上段の時系列は、前の年周成分を除去していない時系列のうち 1995 年以降のものである。破線は、5 期間に分けて推定した回帰曲線である。2 段目の表に回帰モデルの数値を示した。期間 (2) の SSE 進行期は、傾きが約 -8.2mm/ 年と沈降速度が速くなつたが、その後の期間 (3) については約 -4.6mm/ 年と期間 (1) の沈降速度に近くなつてている。2013 年初頭以降の期間 (4) の SSE 再開後は傾きが約 -6.1mm/ 年と沈降速度が速くなり、期間 (5) の停止以降は約 -4.0mm/ 年で期間 (1) の沈降速度に近くなつている。

一番下の段に、期間 (2) から期間 (5) にかけての時系列の拡大図を示した。回帰モデルからの

残差による標準偏差を細い破線で示してある。長期的な傾向に特段の変化は見られない。

第 12 図は、森町（5268）を基準とした掛川市（140-1）と御前崎市（2595）の変動時系列グラフである。森町に対する掛川市及び御前崎市の長期的な沈降傾向に特段の変化は見られない。

第 13 図は、掛川から御前崎検潮所に至る各水準点の上下変動時系列である。御前崎検潮所附属水準点は、2009 年 8 月駿河湾の地震時に局所的に沈下したものと考えられる。

(御前崎先端部)

第 14～15 図は、御前崎先端部の変動を見るために小さな環で行っている水準測量の結果である。最近は概ね半年に 1 回の頻度で実施している。

第 14 図の最上段は、今回 2022 年 6 月の最新の結果と前回 2021 年 11 月の結果の差による上下変動観測結果で、特段の変化は見られない。

第 15 図は、網平均を行った結果を最近の 4 つの期間について示したもので、1977 年からの上下変動の累積を比較のために最下段に示す。(4) に示した最近の期間では特段の変動は見られない。

[GNSS 御前崎とその周辺]

第 16～20 図は御前崎とその周辺の GNSS 連続観測結果である。三ヶ日観測点から榛原（はいばら）観測点に至る東西方向の基線も併せて示している。

第 17 図の(4), (5)において 2009 年の夏に見られる跳びは、2009 年 8 月 11 日に発生した駿河湾の地震に伴う御前崎 A 観測点の局所的な地盤変動によるものである。2011 年 3 月 11 日に発生した東北地方太平洋沖地震に伴い、第 17 図の(5)に地震時と地震後の基線の短縮が見られる。なお、(1), (2)において 2017 年 1 月の掛川 A 観測点への移転前後で傾向に変化が見られるが、原因は不明である。

第 18 図の(8)において 2009 年 8 月頃から、掛川観測点が東向きに動いたような基線長の変化が見られた後、10 月に戻った。同様の変化はピラーに内蔵された傾斜計にも見られるが、GNSS の上下成分には見られない。2010 年夏にも同様の東向きの変化が見られた後、9 月 28 日以降戻っている。2009 年も 2010 年も大雨後に戻っているが、原因は不明のままである。2011 年及び 2012 年にはこのような変化はなかったが、2013 年以降、再び同様の変化が見られるようになった。なお、2017 年 1 月 30 日に掛川 A への移転を行った。その後は特段の変化は見られない。

第 20 図の(6)において 2014 年 6 月頃から静岡相良 1 観測点が隆起する向きの変化が見られたが、8 月に観測点周辺の樹木を伐採した後に戻っており、観測点周辺の樹木の生長に伴う受信環境の悪化による影響であった可能性がある。また、2016 年 6 月頃からも隆起する向きの変化が見られた後、2017 年 2 月に周辺の樹木を伐採後に戻っており、同様に樹木繁茂による影響の可能性がある。一部の観測点では 2010 年 2～3 月頃にレドームの開閉を行ったことによる見かけ上の変動が含まれている場合があるので、第 16 図下段の観測局情報を参照する必要がある。最近のデータには、特段の傾向の変化は見られない。

[GNSS 駿河湾]

第 21～25 図は、駿河湾とその周辺の GNSS 連続観測時系列である。傾向に特段の変化は見られない。第 22 図の(1)において、2020 年 7 月、8 月に斜距離の縮みが見られるが、伊豆半島

の大気擾乱による一時的な変化であると考えられる。

[東海地方の地殻変動]

第 26～30 図は、白鳥観測点（第 26～27 図）及び、三隅観測点（第 28～30 図）を固定局として示した、東海地方の地殻変動である。

第 26 図上段は最近の 1 年間の水平変動である。比較のために、東北地方太平洋沖地震前において SSE のなかった 2 つの時期における変動速度を中段に、SSE が発生していた時期の変動速度を下段に示している。最近の東海地方の地殻変動には西向きの変動が広く見られ、SSE の発生していなかった時期の特徴に近い。

第 27 図は、上下成分について同様の比較を示すものである。水平よりもばらつきが大きい。

第 28～29 図は、東北地方太平洋沖地震前の 2008 年 1 月～2011 年 1 月の期間の変動を定常変動と仮定し、それからの変動の差を非定常変動として示した図である。水平成分及び上下成分のそれぞれについて、最近の約 1 年間の図と 3 か月ごとの図を示す。特段の変動は見られない。

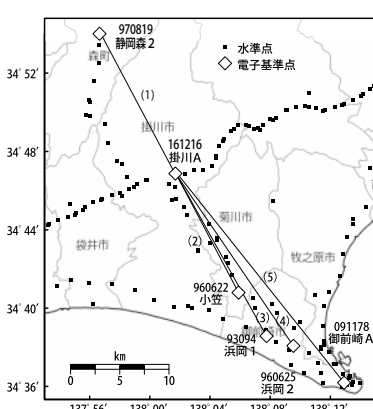
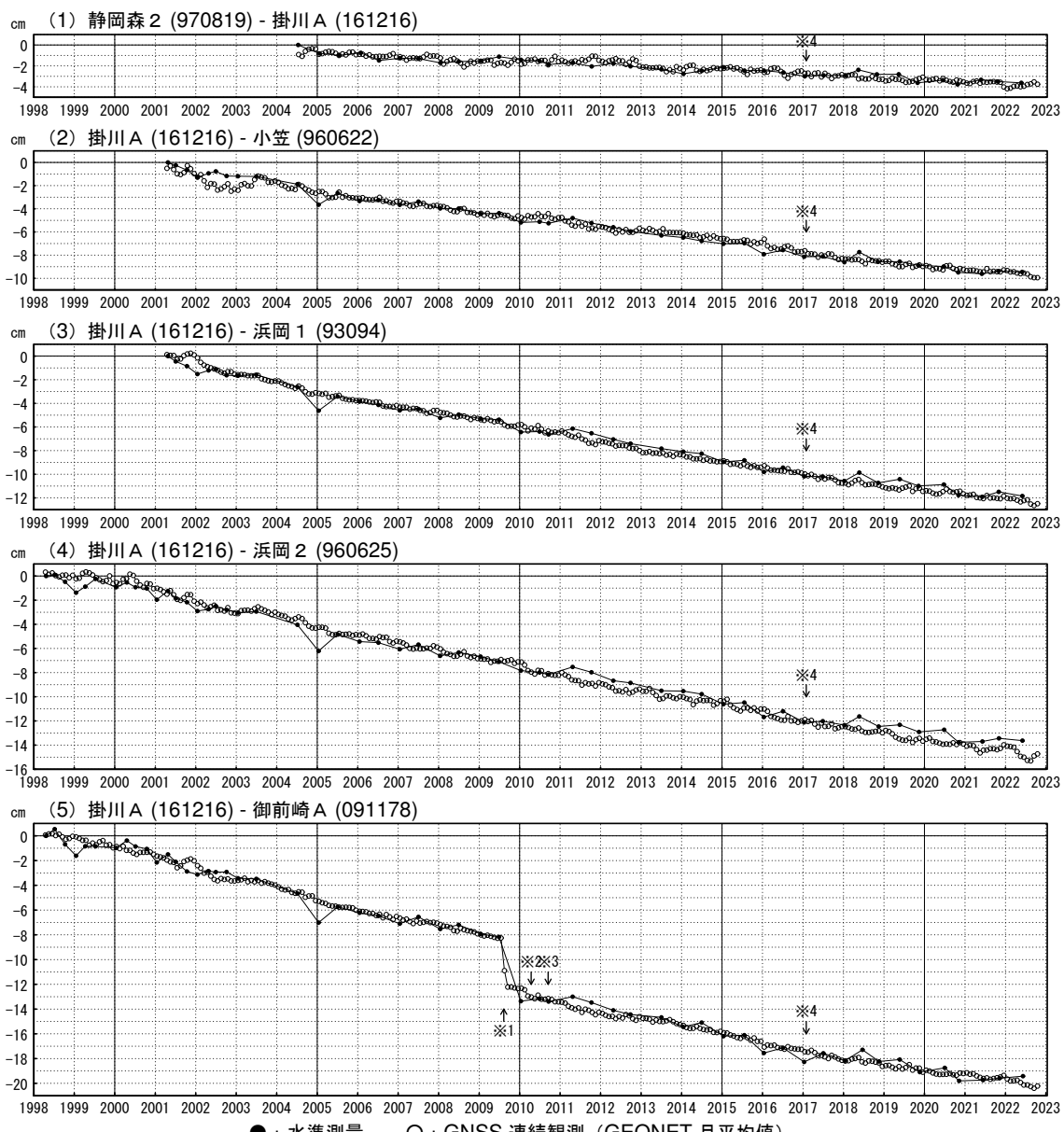
第 30 図は、東海地方の GNSS 連続観測点の非定常地殻変動の 3 成分時系列である。東北地方太平洋沖地震の余効変動の影響は小さくなっている。(7) の榛原観測点で 2016 年 6 月頃から上下成分に変化が見られていたが、2017 年 2 月 4 日に周辺樹木の伐採を行った後は元に戻っている。

[御前崎～静岡市間の上下変動 水準測量]

第 31 図は、東海地方で 1 年に 1 回行っている水準測量の結果である。御前崎市から駿河湾沿いに藤枝市まで北上し国道一号線沿いに静岡市交 70-1 に達する路線の結果である。最新の結果では、静岡市側に対し御前崎市側で隆起が見られるが、電子基準点の GNSS 連続観測では御前崎市側が沈降であり、水準測量の観測上の誤差である可能性がある。

御前崎 電子基準点の上下変動 水準測量とGNSS連続観測

御前崎周辺の長期的な沈降傾向に変化は見られない。



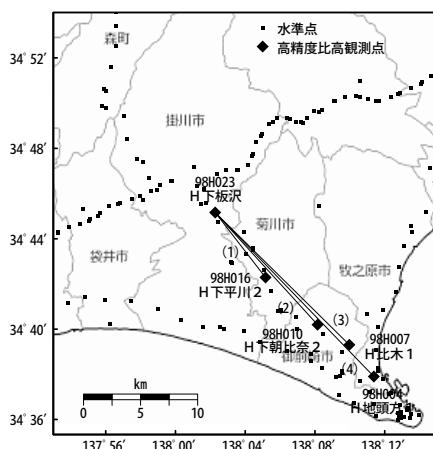
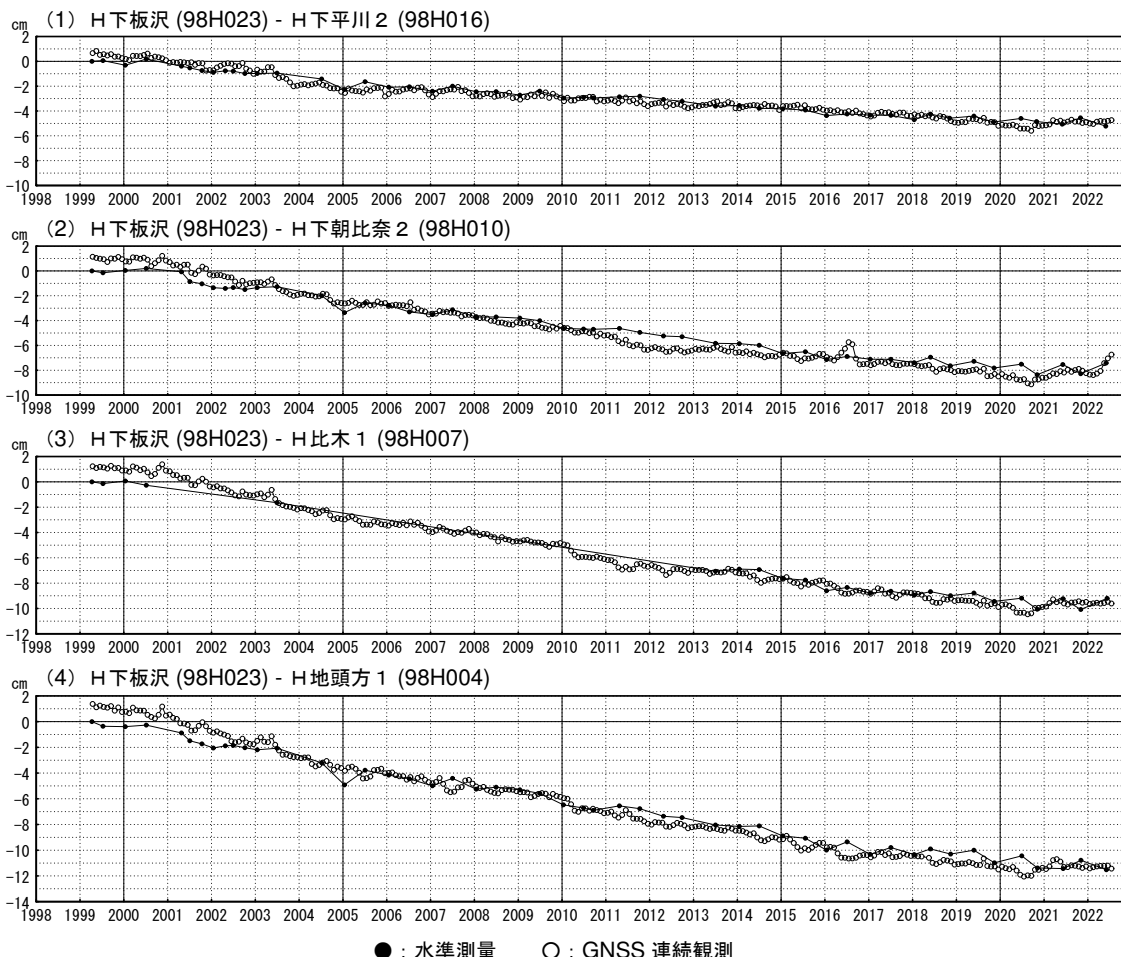
- 水準測量による結果は、最初のプロット点の値を0cmとして描画している。
- GNSS連続観測のプロット点は、GEONETによる日々の座標値(F5:最終解)から計算した値の月平均値。最新のプロット点は10/1~10/8の平均。
- GNSS連続観測による結果については、水準測量の全期間との差が最小となるように描画している。

- ※1 電子基準点「御前崎」は2009年8月11日の駿河湾の地震(M6.5)に伴い、地表付近の局所的な変動の影響を受けた。
- ※2 2010年4月以降は、電子基準点「御前崎」をより地盤の安定している場所に移転し、電子基準点「御前崎A」とした。
- ※3 水準測量の結果は移転後初めて変動量が計算できる2010年9月から表示している。
- ※4 2017年1月30日以降は、電子基準点「掛川」は移転し、電子基準点「掛川A」とした。

第1図 御前崎 電子基準点の上下変動（水準測量とGNSS）。

Fig. 1 Vertical displacements of GEONET stations in the Omaezaki region (leveling and GNSS measurements).

御前崎 高精度比高観測点の上下変動 水準測量とGNSS連続観測

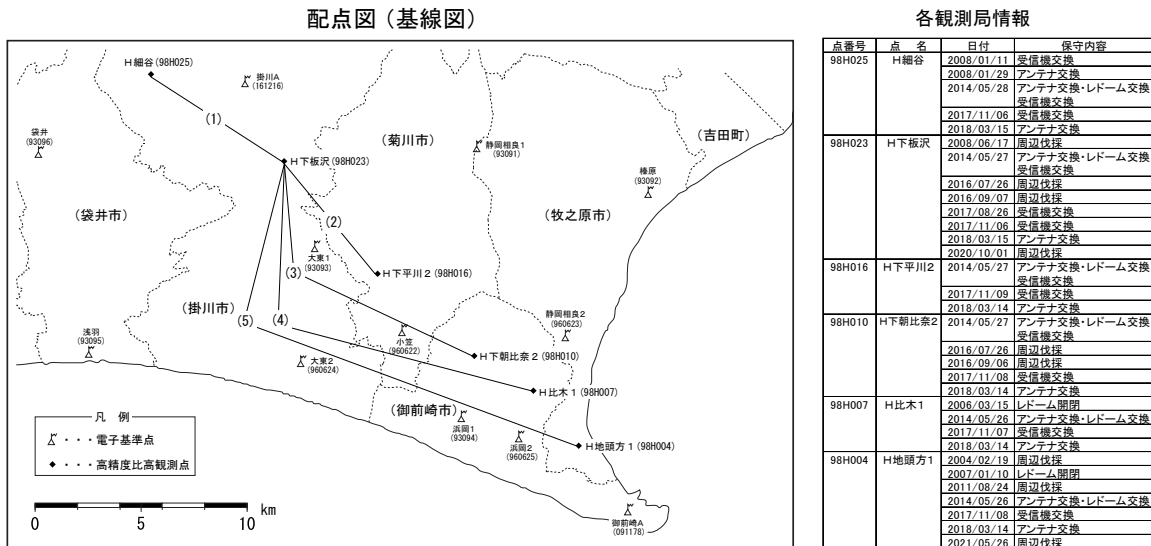
御前崎周辺の長期的な沈降傾向に変化は見られない。

- ・水準測量による結果は、最初のプロット点の値を0cmとして描画している。
- ・GNSS連続観測のプロット点は、日々の座標値(HI5:最終解)から計算した値の月平均値。最新のプロット点は7/1~7/16の平均。
- ・GNSS連続観測による結果については、水準測量の全期間との差が最小となるように描画している。

第2図 御前崎地域の高精度比高観測点の上下変動（水準測量とGNSS）。

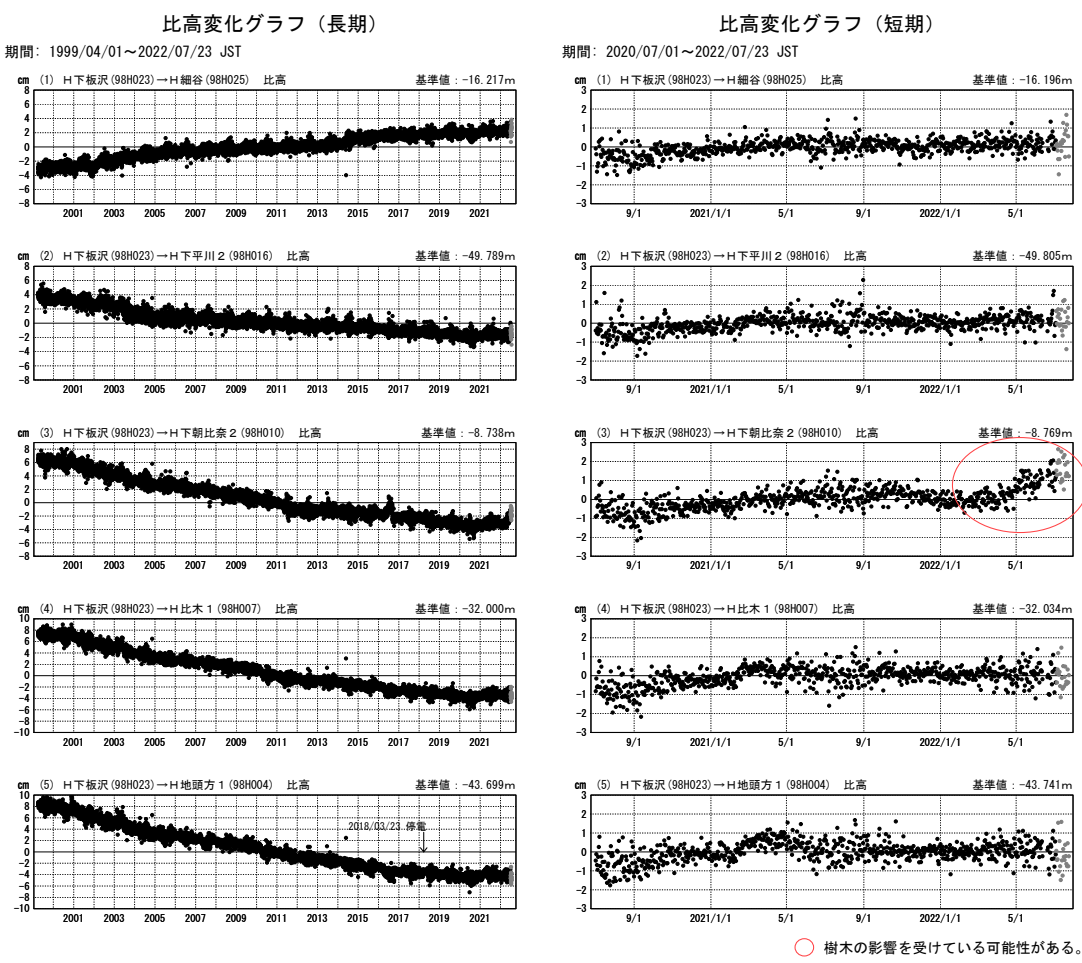
Fig. 2 Vertical displacements of high precision vertical observation sites in the Omaezaki region (leveling and high precision vertical GNSS measurements).

御前崎 高精度比高観測時系列 (GNSS)



第3図(a) 御前崎地域の高精度比高観測GNSS観測結果(基線図).

Fig. 3(a) Baseline map of high precision vertical GNSS measurements in the Omaezaki region.



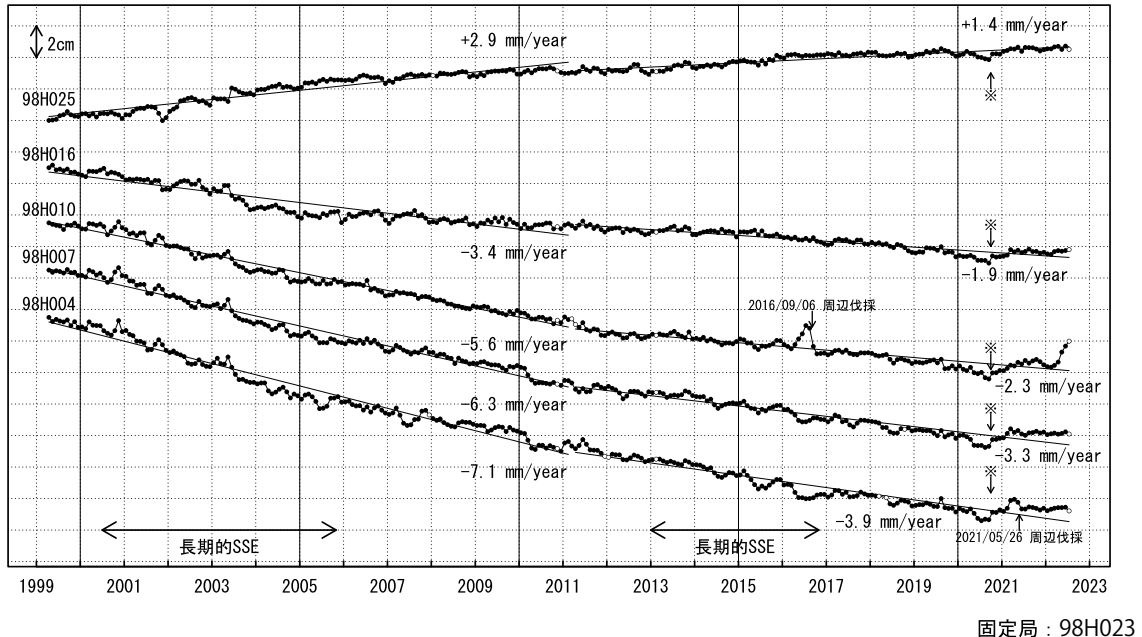
第3図(b) 御前崎地域の高精度比高観測GNSS観測結果.

Fig. 3(b) Time series of the height changes at precision vertical GNSS measurement sites in the Omaezaki region.

高精度比高観測による比高変化 月平均値・10日間平均値

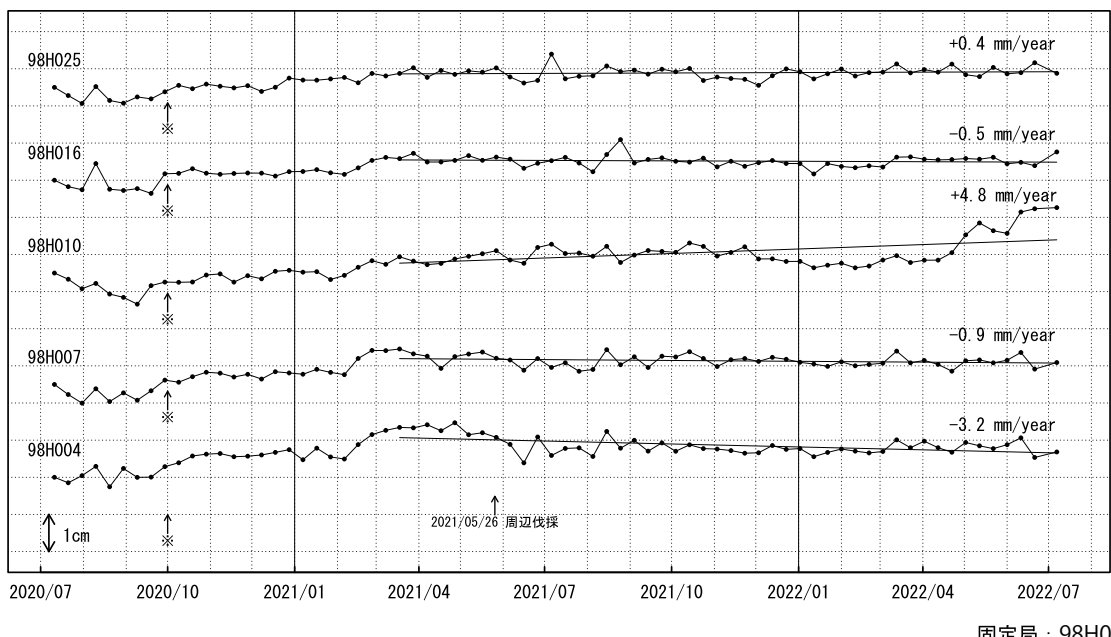
月平均値

期間：1999/04/01 – 2022/07/16 [H I 5 : 最終解]



10日間平均値

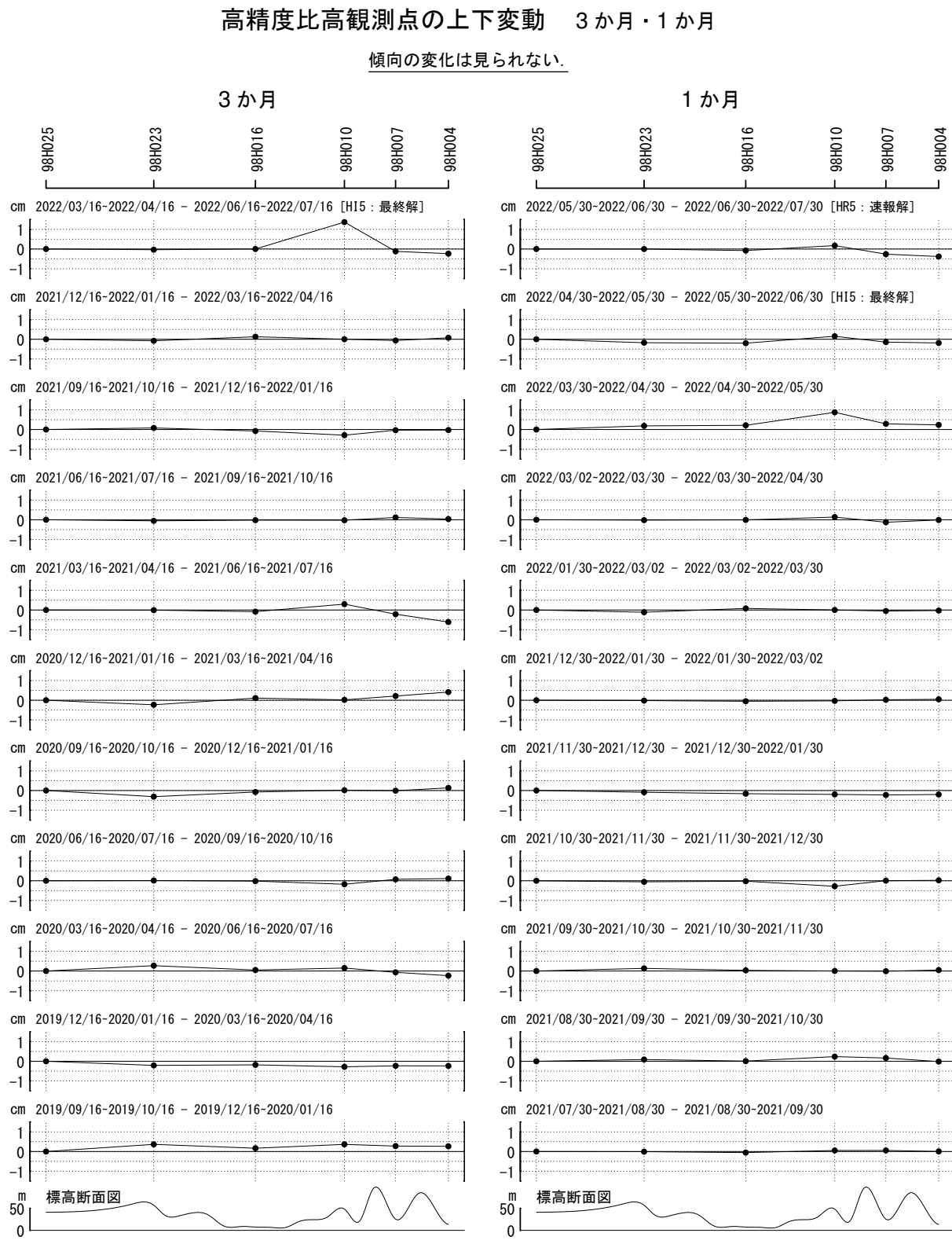
期間：2020/07/07 – 2022/07/16 [H I 5 : 最終解]



- ・プロット位置は平均を求めた期間の中央。
- ・最新のプロット点は、月平均値は07/01~07/16、10日間平均値は07/07~07/16の平均。
- ・平均に用いたデータ数が少ない場合（月平均：25未満、10日平均：8未満）は白抜き。
- ・月平均値は、2011年3月11日に発生した東北地方太平洋沖地震前後で期間を分けて回帰モデルを作成。
- ・※2020年10月1日：98H023（固定局）で周辺樹木伐採。

第4図 御前崎地域の高精度比高観測GNSS観測結果（1か月間及び10日間移動平均・時系列）。

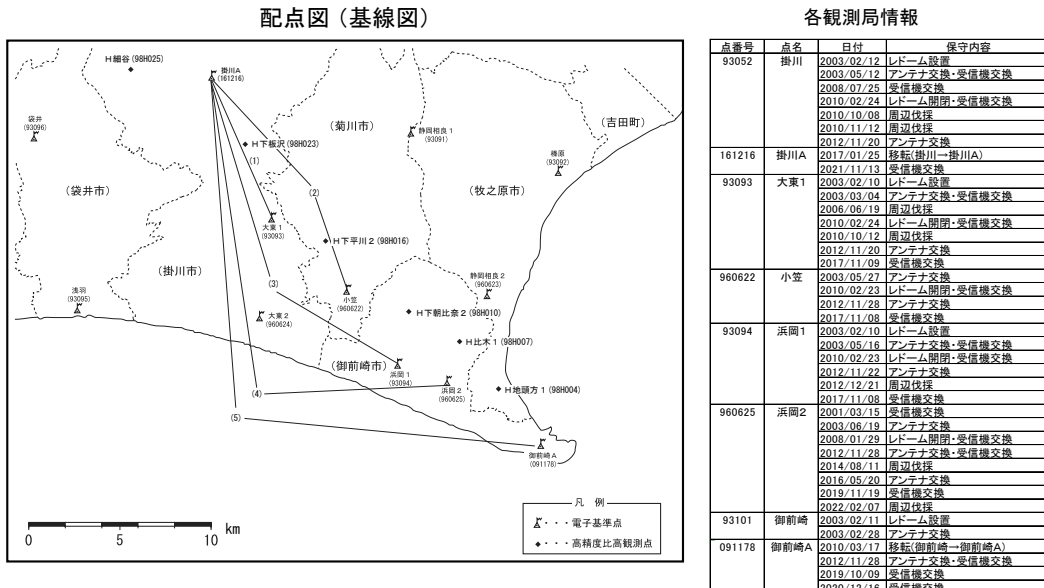
Fig. 4 Results of high precision vertical GNSS measurements in the Omaezaki region (Time series of 1 month and 10 days running mean).



第5図 御前崎地域の高精度比高観測GNSS観測結果（点毎の3か月間及び1か月間の変動量）。

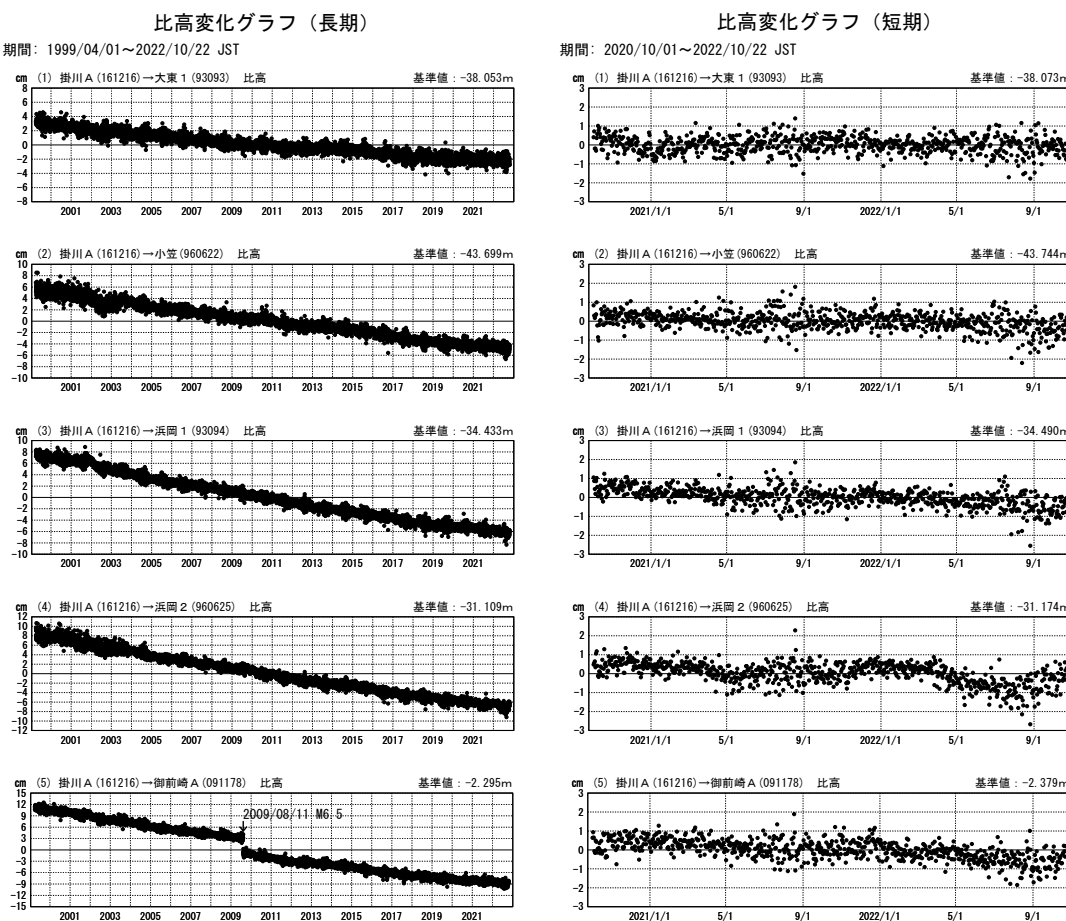
Fig. 5 Results of high precision vertical GNSS measurements in the Omaezaki region (Height change every three months and 1 month at each site).

御前崎 電子基準点比高観測時系列 (GNSS)



第6図(a) 御前崎 電子基準点比高観測 GNSS 観測結果(基線図).

Fig. 6(a) Baseline map of vertical GNSS measurements in the Omaezaki region.



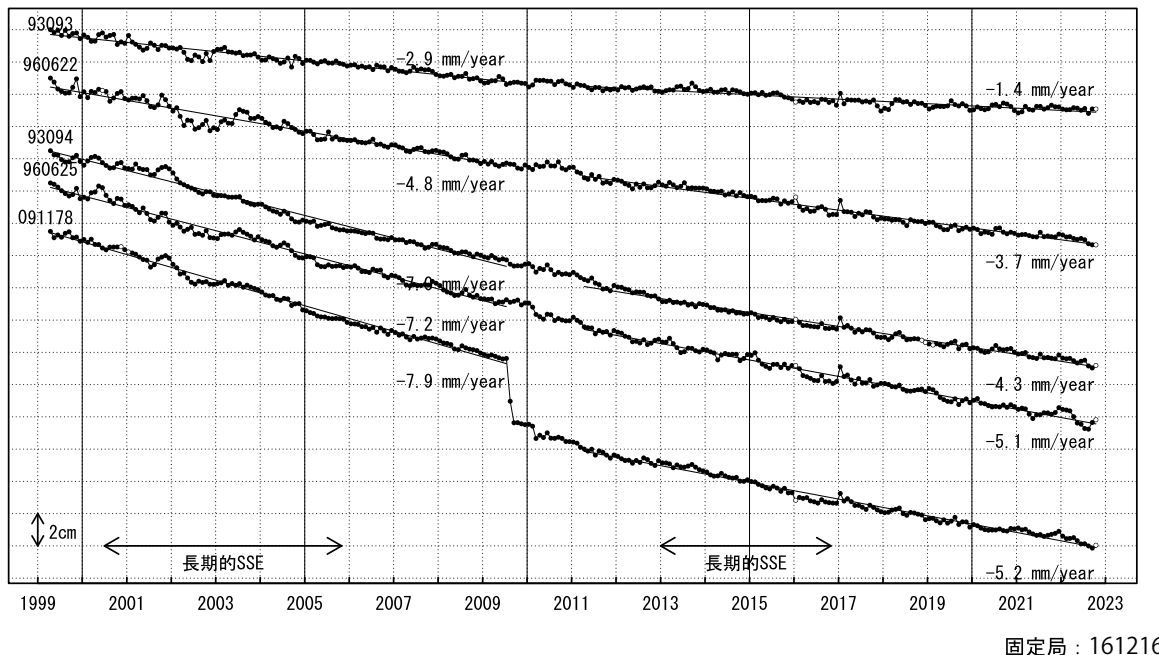
第6図(b) 御前崎 電子基準点比高観測 GNSS 観測結果.

Fig. 6(b) Time series of the height changes at vertical GNSS measurement sites in the Omaezaki region.

電子基準点による比高変化 月平均値・10日間平均値 F5解版

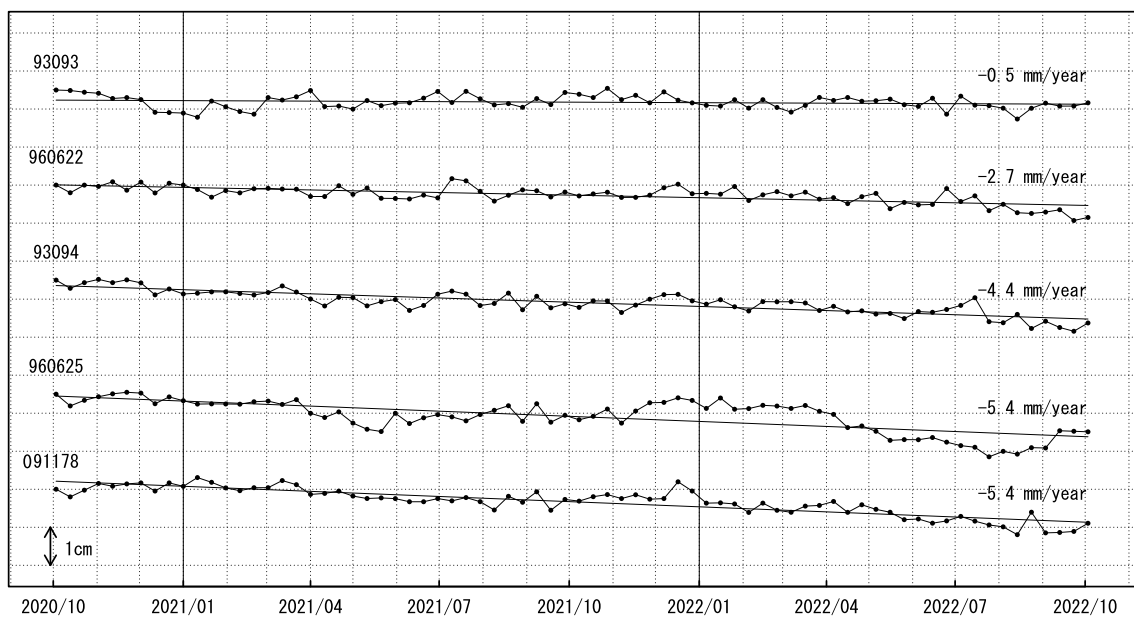
月平均値

期間：1999/04/01 – 2022/10/08 [F5：最終解]



10日間平均値

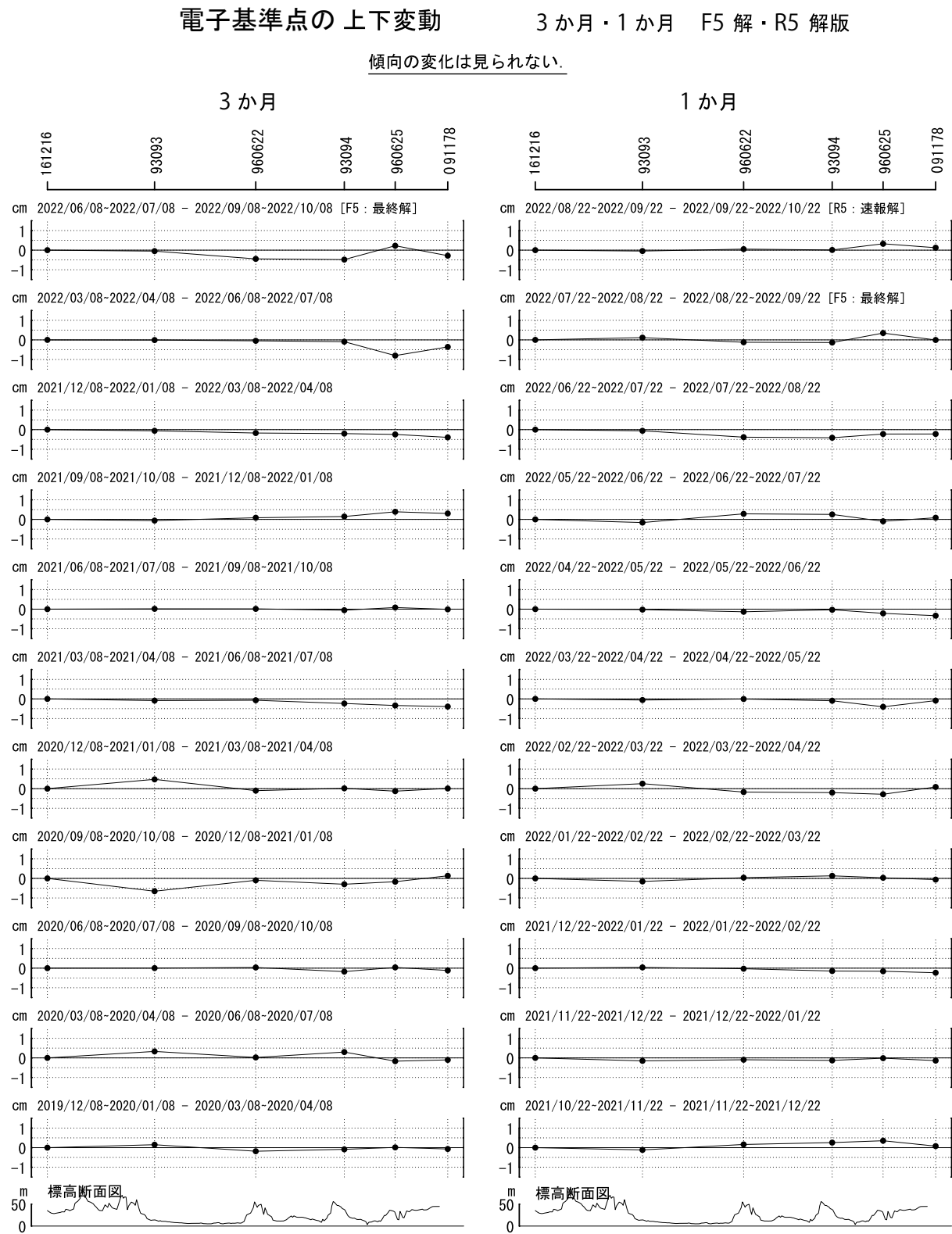
期間：2020/09/29 – 2022/10/08 [F5：最終解]



- プロット位置は平均を求めた期間の中央。
- 最新のプロット点は月平均値は10/01~10/08、10日間平均値は09/29~10/08の平均。
- 平均に用いたデータ数が少ない場合（月平均：25未満、10日平均：8未満）は白抜き。
- 月平均値の回帰モデルは、2009年8月11日に発生した駿河湾の地震前、および2011年3月11日に発生した東北地方太平洋沖地震後の各期間について作成。

第7図 電子基準点 比高観測GNSS観測結果（1か月間及び10日間移動平均・時系列）。

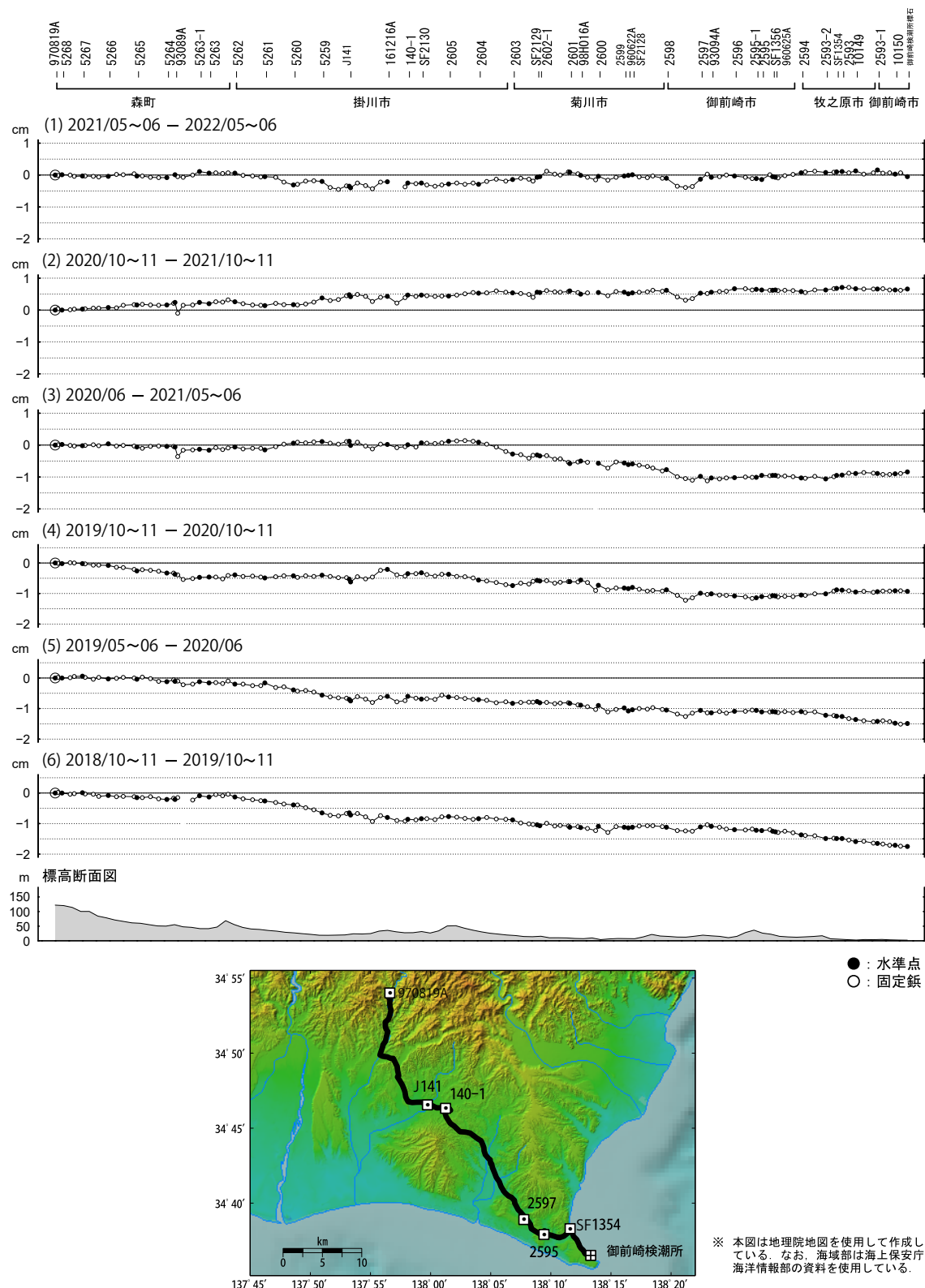
Fig. 7 Results of vertical GNSS measurements in the Omaezaki region (Time series of 1 month and 10 days running mean).



第8図 御前崎地域の比高観測 GNSS 観測結果（点毎の3か月間及び1か月間の変動量）。

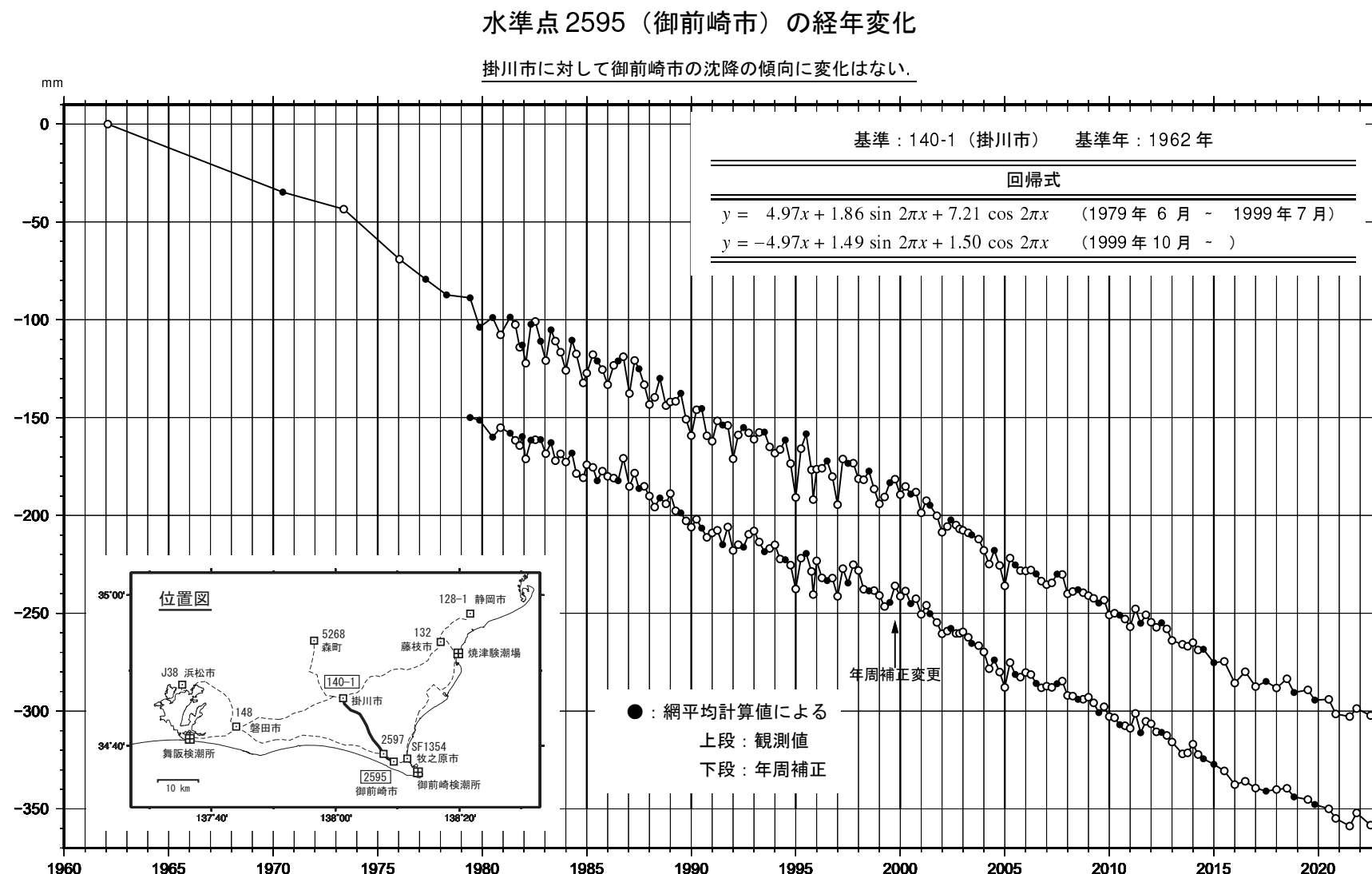
Fig. 8 Results of vertical GNSS measurements in the Omaezaki region (Height change every three months and 1 month at each site).

森～掛川～御前崎間の上下変動



第9図 水準測量による森町～掛川市～御前崎市間ににおける上下変動。

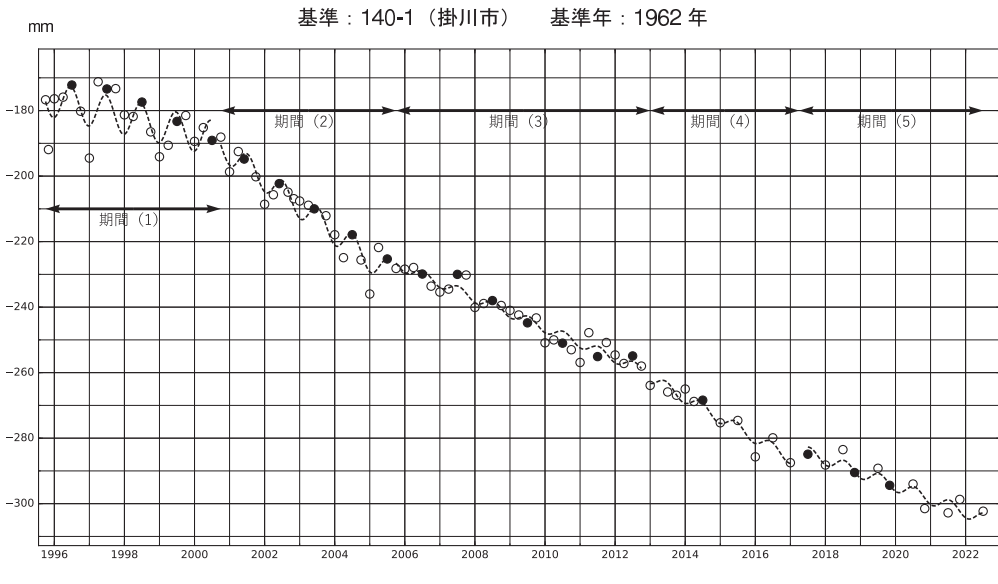
Fig. 9 Vertical displacements from Mori town to Omaezaki city via Kakegawa city.



第10図 水準点 140-1 (掛川市) を基準とした 2595 (御前崎市) の高さの経年変化。

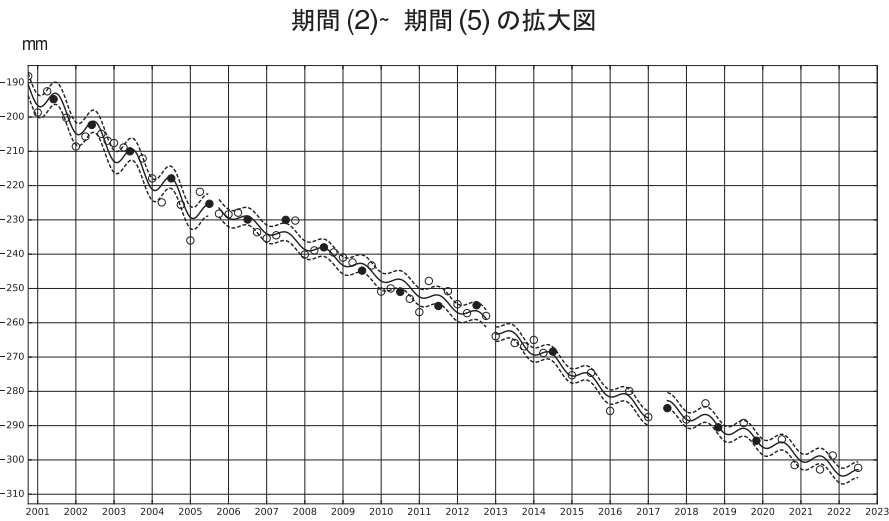
Fig. 10 Time series of height change of BM2595 (Omaezaki) as referred to BM140-1 (Kakegawa).

水準点2595（御前崎市）の経年変化
スロースリップイベント期間で分けた回帰モデル



- ・スロースリップイベントの(1)開始以前、(2)進行期、(3)停止期、(4)進行期、(5)停止以降の5期間でそれぞれ回帰モデルを推定している。
- ・(1)~(5)の各期間の1次トレンド+十年周を破線で表示している。

No.	期間	傾き (mm/yr)	振幅 (mm)	位相 (deg)	標準偏差 (mm)
期間 (1)	1995年10月 - 2000年7月	-2.57	5.37	-79.0	5.39
期間 (2)	2000年10月 - 2005年7月	-8.15	3.80	-95.7	3.24
期間 (3)	2005年10月 - 2012年10月	-4.60	1.45	-103.6	2.53
期間 (4)	2013年1月 - 2017年3月	-6.12	1.74	-70.5	2.09
期間 (5)	2017年4月 - 2022年7月	-4.03	1.82	-107.0	2.30

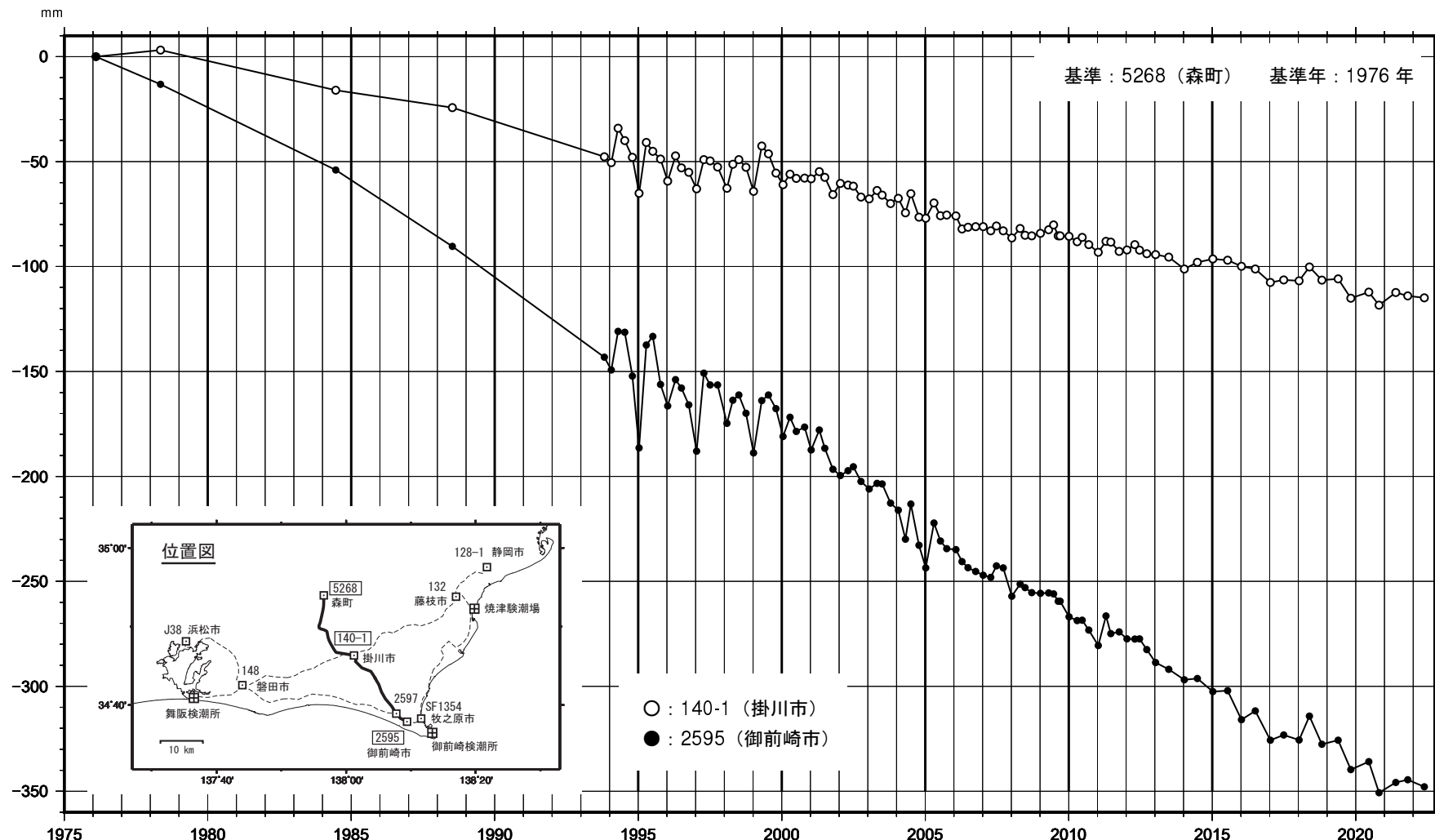


- ・各期間の回帰モデル（1次トレンド+十年周）を実線で表示している。
- ・回帰モデルからの残差による標準偏差を破線で示している。

第11図 水準点2595（御前崎市）の経年変化 スロースリップイベント期間で分けた回帰モデル.
Fig. 11 A regression model for the period before, during and after the slow slip event.

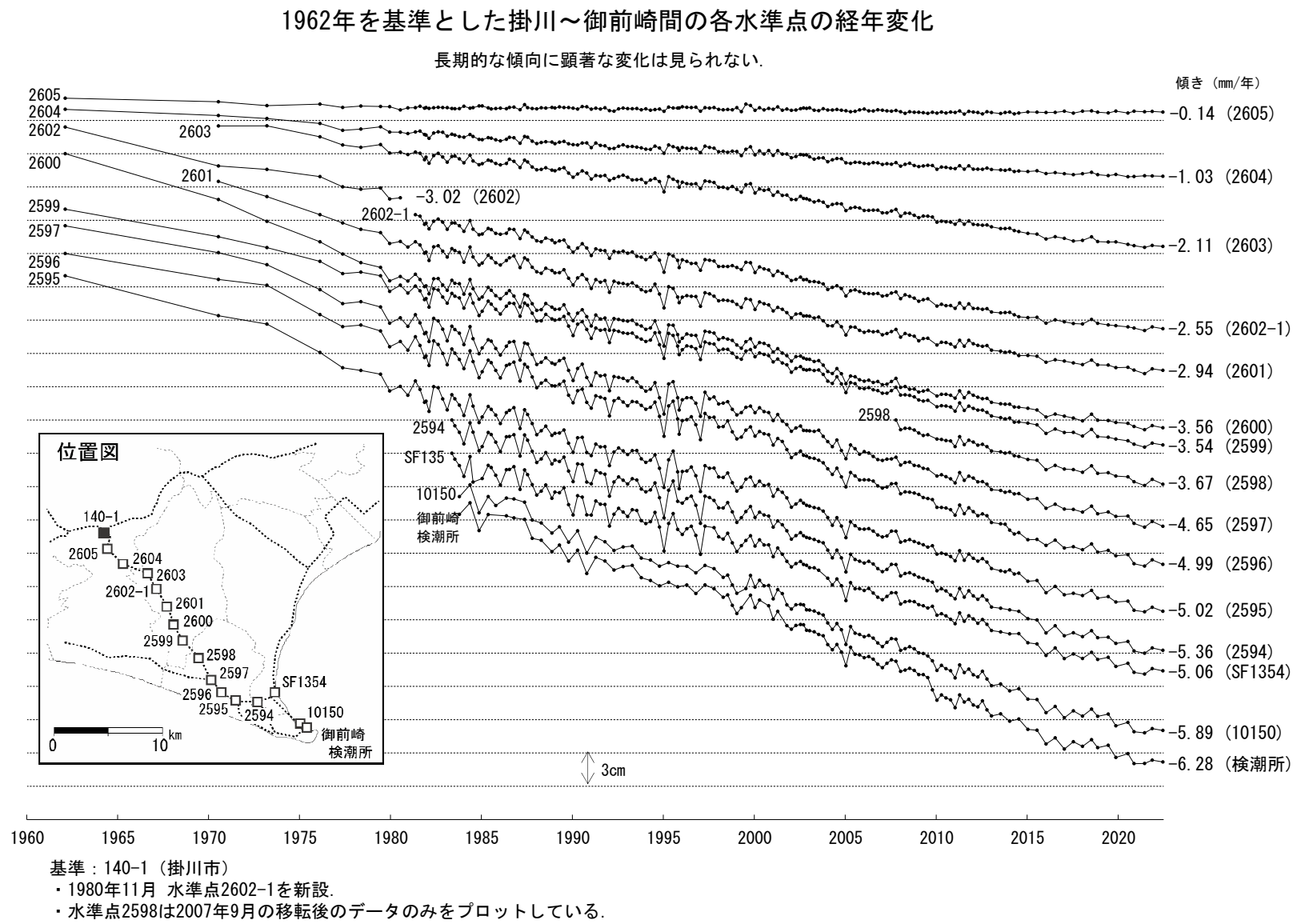
水準点 (140-1・2595) の経年変化

長期的な傾向に変化は見られない。



第12図 水準点 5268 (森) を基準とした 140-1 (掛川) と 2595 (御前崎市) の上下変動時系列。

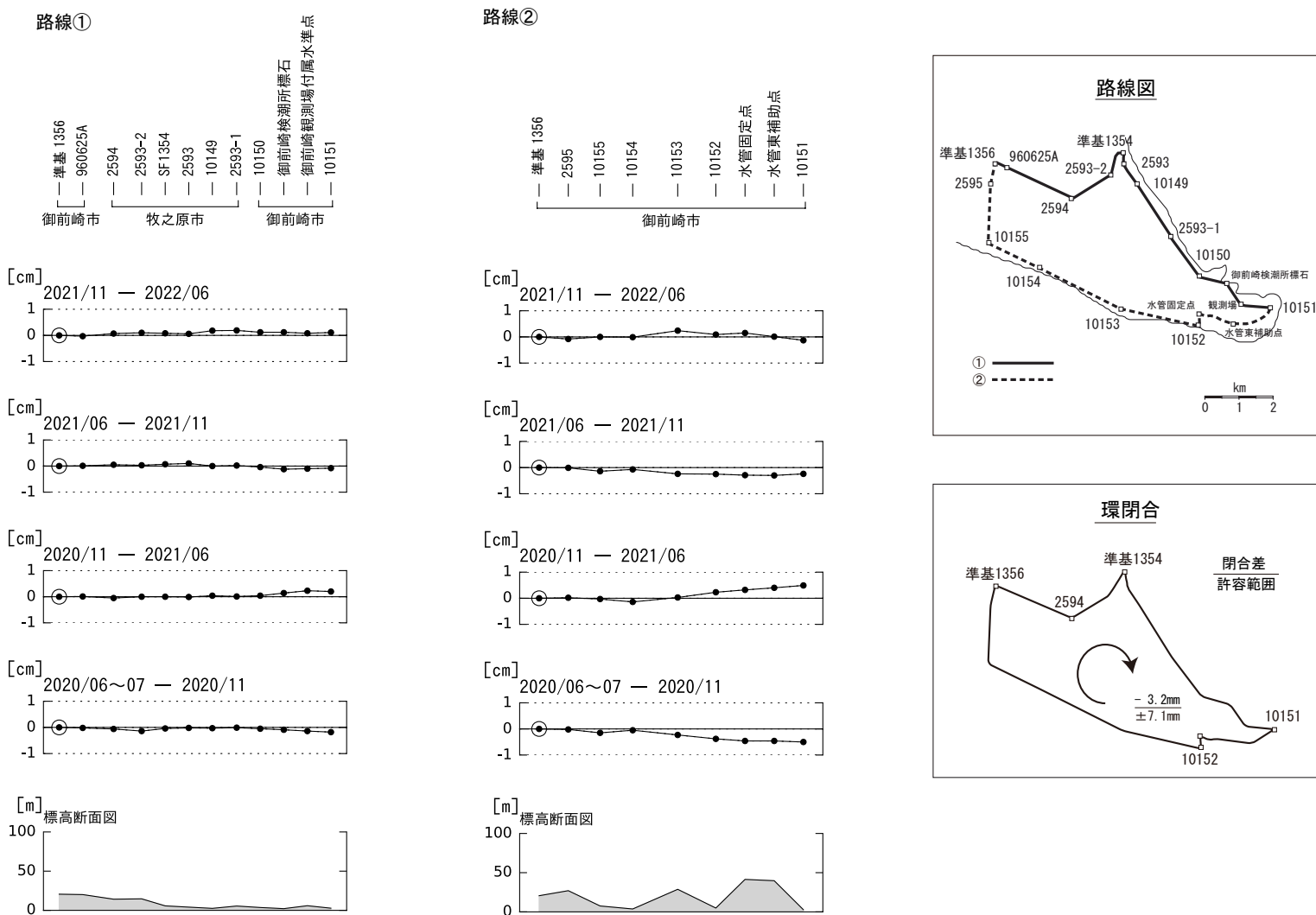
Fig. 12 Time series of height change from BM 5268 (Mori) to BM140-1 (Kakegawa) and BM2595 (Omaezaki).



第13図 水準点140-1（掛川市）を基準とした掛川～御前崎間の各水準点の高さの経年変化。

Fig. 13 Time series of height changes of benchmarks between Kakegawa and Omaezaki as referenced to BM140-1 (Kakegawa).

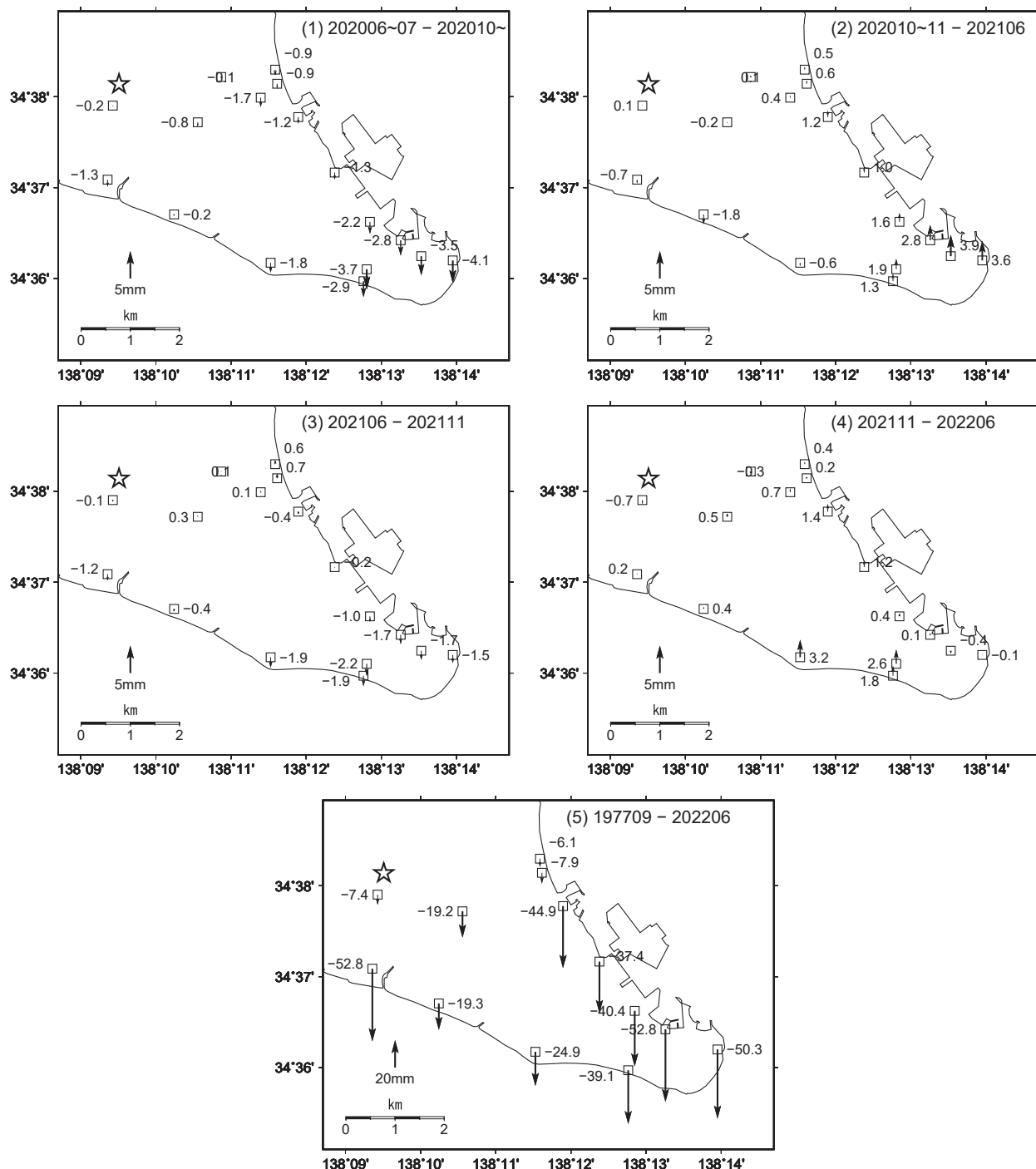
御前崎地方の上下変動(1)



第14図 水準測量による御前崎先端部の上下変動(1).

Fig. 14 Vertical crustal deformation by the precise leveling survey around Omaezaki (1/2).

御前崎地方の上下変動(2)

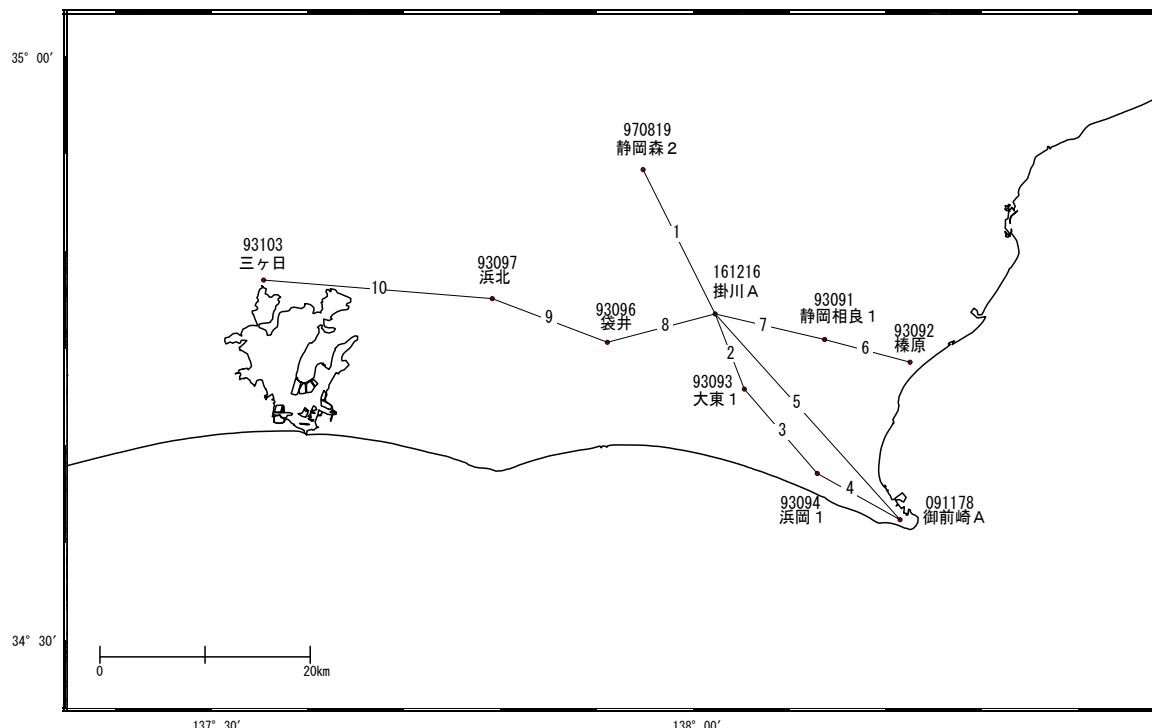
傾向に変化は見られない。

☆基準：準基1356(御前崎市)

第15図 水準測量による御前崎先端部の上下変動(2).

Fig. 15 Vertical crustal deformation by the precise leveling survey around Omaezaki (2/2).

御前崎周辺 GNSS 連続観測時系列 (1) 基線図



御前崎周辺の各観測局情報

点番号	点名	日付	保守内容
161216	掛川A	2003/02/12	レドーム設置
		2003/05/12	アンテナ交換
		2008/07/25	受信機交換
		2010/02/24	レドーム開閉
		2012/11/20	アンテナ更新
		2017/01/30	移転(掛川→掛川A)
		2021/11/13	受信機交換
970819	静岡森2	2003/06/19	アンテナ更新
		2008/01/29	レドーム取り外し・再取り付け
		2008/01/29	受信機交換
		2012/10/12	アンテナ更新・受信機交換
		2020/11/06	受信機交換
		2021/11/13	受信機交換
93093	大東1	2003/02/10	レドーム設置
		2003/03/04	アンテナ交換
		2010/02/24	レドーム開閉
		2012/11/20	アンテナ更新
		2017/11/09	受信機交換
93094	浜岡1	2003/02/10	レドーム設置
		2003/05/16	アンテナ交換
		2010/02/23	レドーム閉鎖
		2012/11/22	アンテナ更新
		2017/11/08	受信機交換
091178	御前崎A	2003/02/11	レドーム設置
		2003/02/28	アンテナ交換
		2010/03/28	移転(御前崎→御前崎A)
		2012/11/28	アンテナ更新
		2019/10/09	受信機交換
		2020/12/16	受信機交換
93091	静岡相良1	2001/03/20	アンテナ交換
		2003/02/12	レドーム設置
		2003/03/07	アンテナ交換
		2008/01/30	受信機交換
		2012/11/22	アンテナ更新
		2019/11/19	受信機交換

※2003年3月5日に基準局92110(つくば1)のアンテナおよびレドームの交換を実施し、解析値に補正をしています。

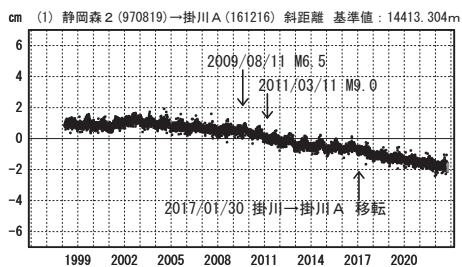
第16図 御前崎周辺 GNSS 連続観測点観測結果（基線図及び保守状況）。

Fig. 16 Results of continuous GNSS measurements in the Omaezaki region (baseline map and history of the site maintenance).

御前崎周辺 GNS S 連続観測時系列 (2)

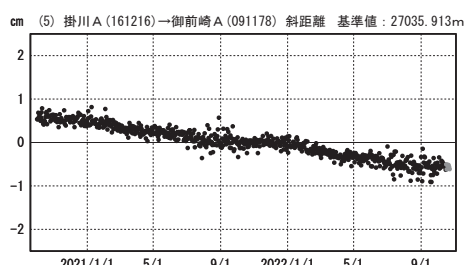
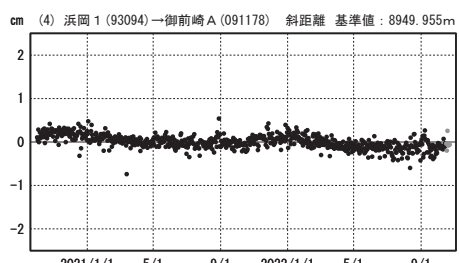
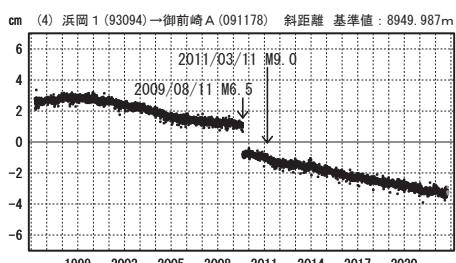
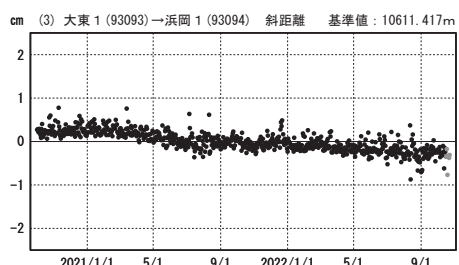
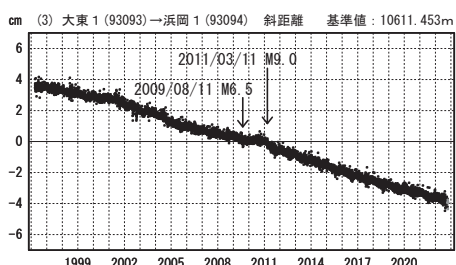
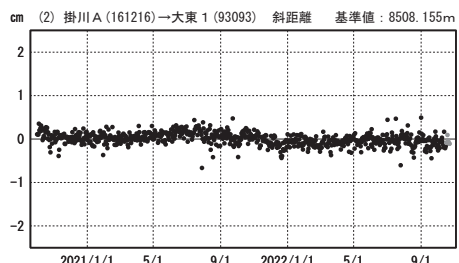
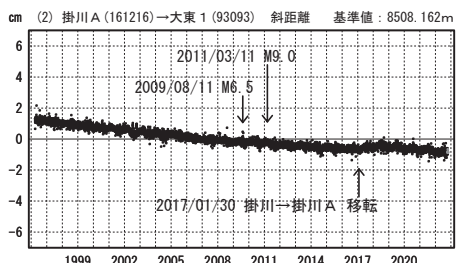
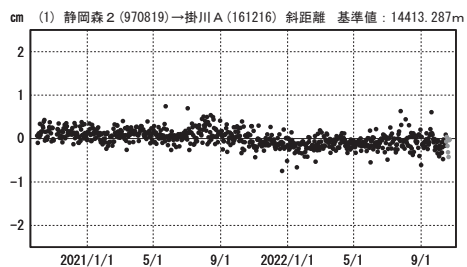
基線変化グラフ（長期）

期間：1996/04/01～2022/10/22 JST



基線変化グラフ（短期）

期間：2020/10/01～2022/10/22 JST



●---[F5:最終解] ●---[R5:速報解]

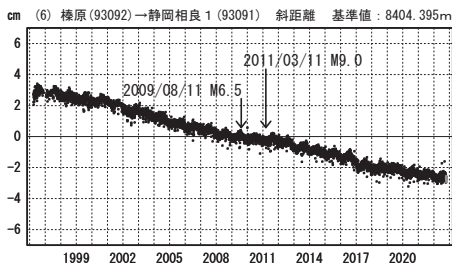
第17図 御前崎周辺 GNSS 連続観測点観測結果（斜距離）(1).

Fig. 17 Results of continuous GNSS measurements in the Omaezaki region (baseline length) (1/2).

御前崎周辺 G N S S 連続観測時系列 (3)

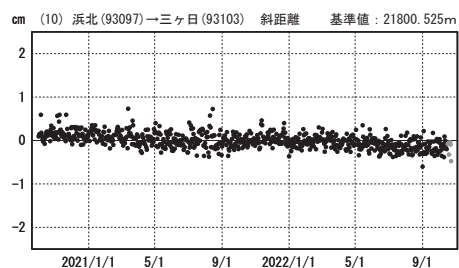
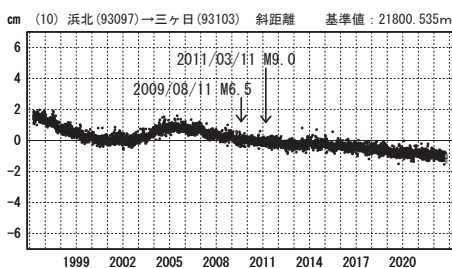
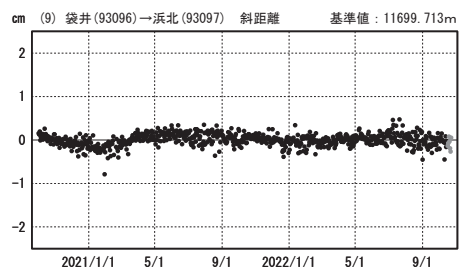
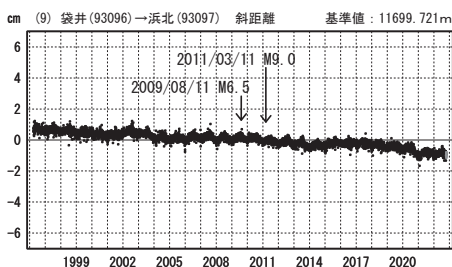
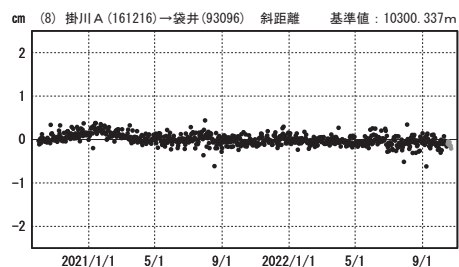
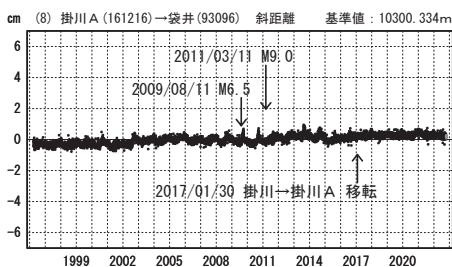
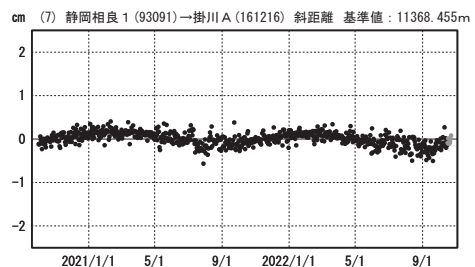
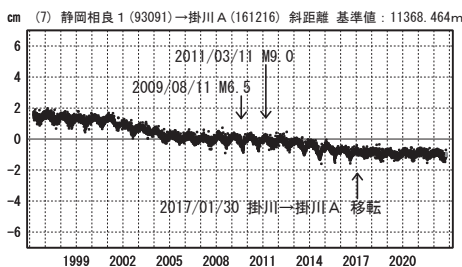
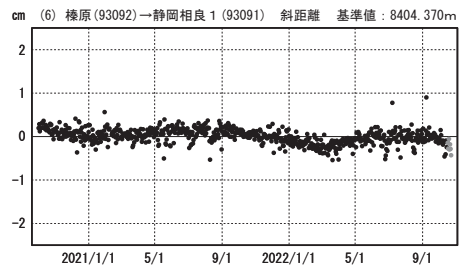
基線変化グラフ（長期）

期間：1996/04/01～2022/10/22 JST



基線変化グラフ（短期）

期間：2020/10/01～2022/10/22 JST



●---[F5:最終解] ●---[R5:速報解]

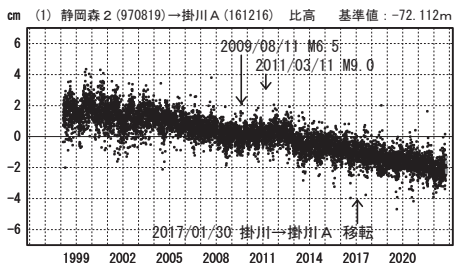
第18図 御前崎周辺 GNSS 連続観測点観測結果（斜距離）(2).

Fig. 18 Results of continuous GNSS measurements in the Omaezaki region (baseline length) (2/2).

御前崎周辺 GNSS 連続観測時系列 (4)

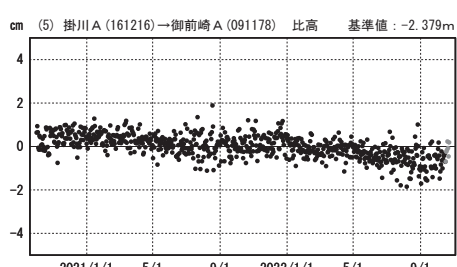
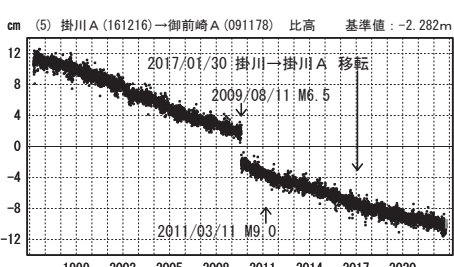
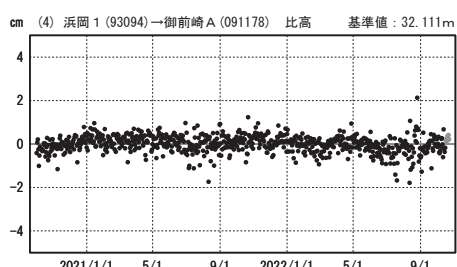
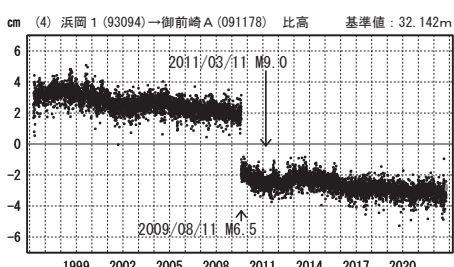
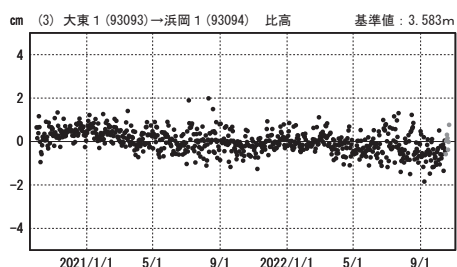
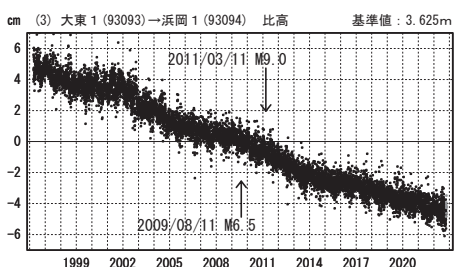
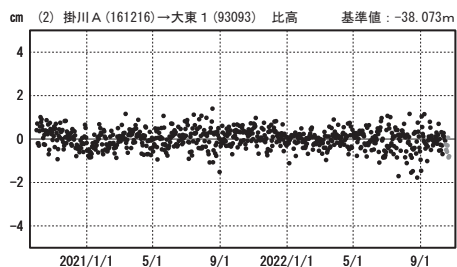
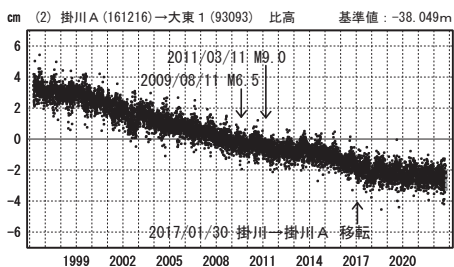
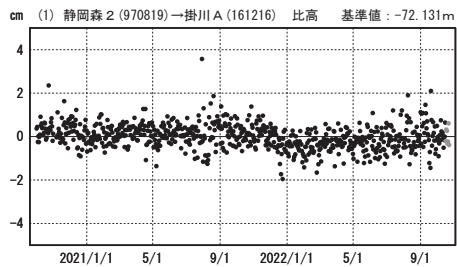
比高変化グラフ（長期）

期間：1996/04/01～2022/10/22 JST



比高変化グラフ（短期）

期間：2020/10/01～2022/10/22 JST



●---[F5:最終解] ●---[R5:速報解]

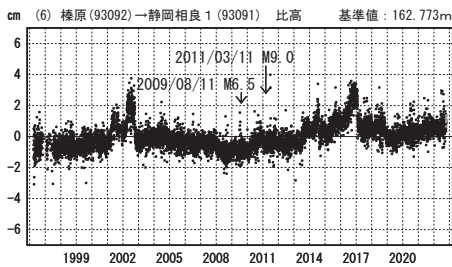
第19図 御前崎周辺 GNSS 連続観測点観測結果（比高）(1).

Fig. 19 Results of continuous GNSS measurements in the Omaezaki region (relative height) (1/2).

御前崎周辺 G N S S 連続観測時系列 (5)

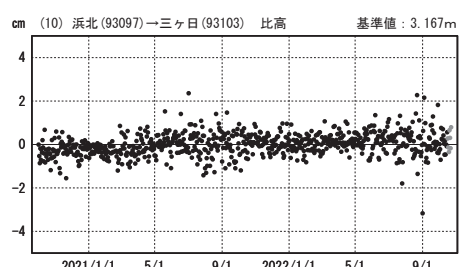
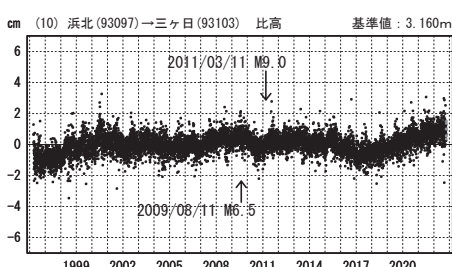
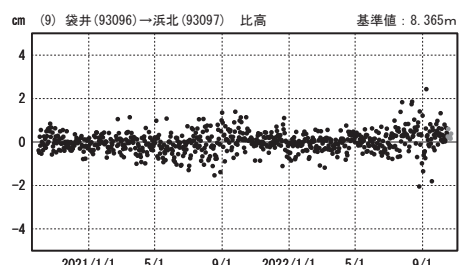
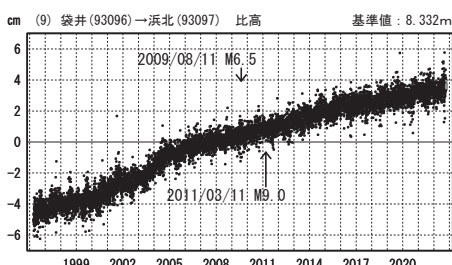
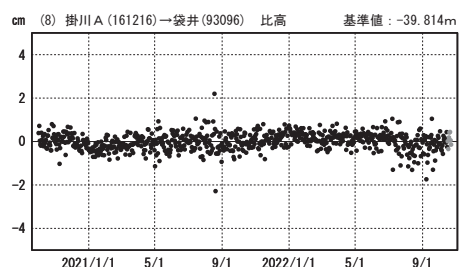
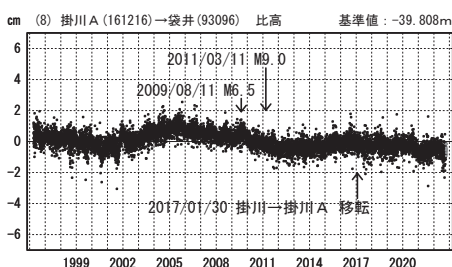
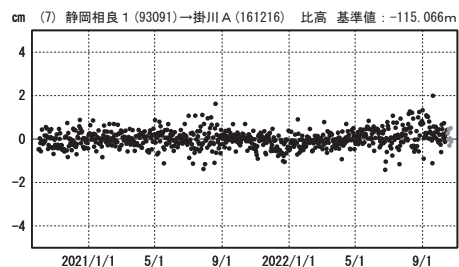
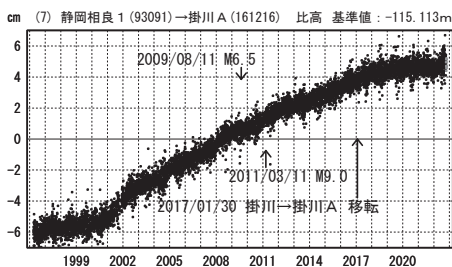
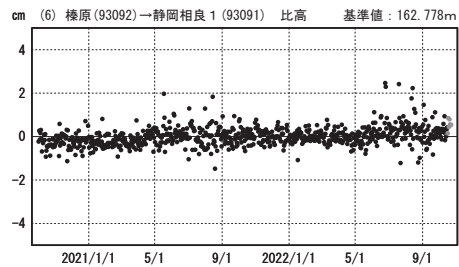
比高変化グラフ（長期）

期間：1996/04/01～2022/10/22 JST



比高変化グラフ（短期）

期間：2020/10/01～2022/10/22 JST



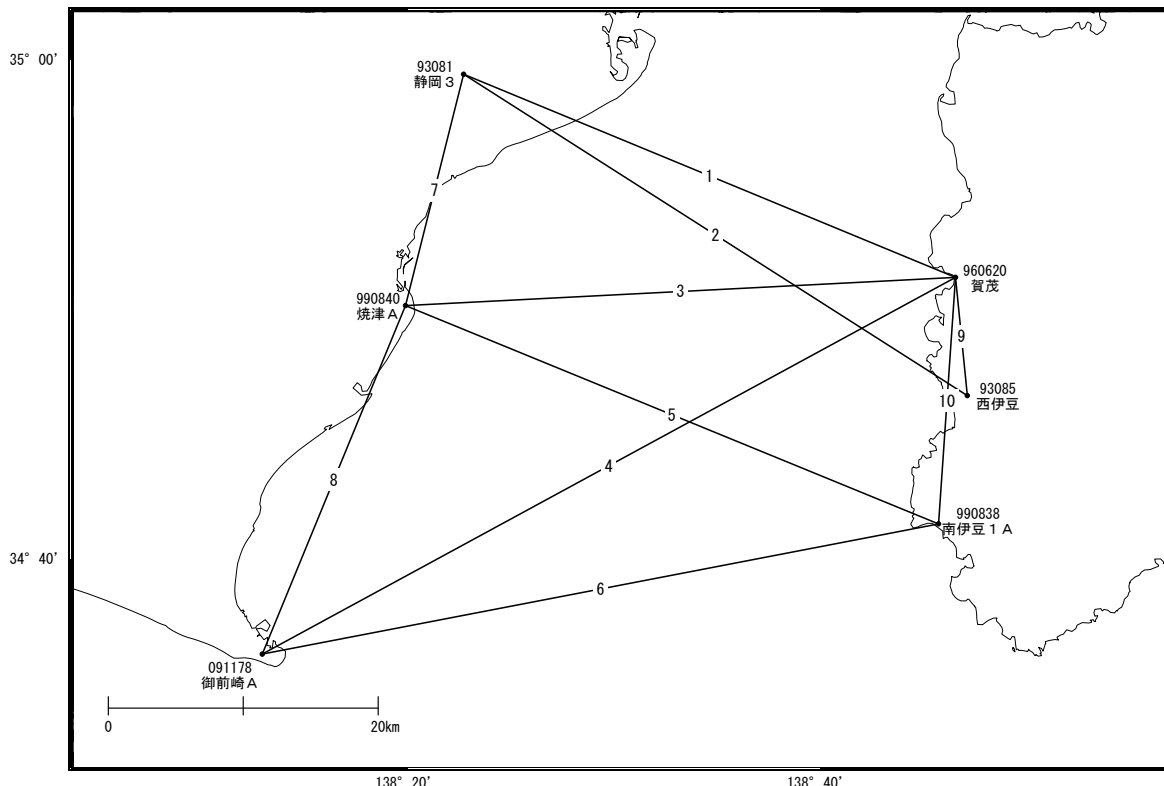
●---[F5:最終解] ●---[R5:速報解]

第20図 御前崎周辺 GNSS 連続観測点観測結果（比高）(2).

Fig. 20 Results of continuous GNSS measurements in the Omaezaki region (relative height) (2/2).

駿河湾周辺 GNSS 連続観測時系列 (1)

基線図



各観測局情報

点番号	点名	日付	保守内容
93081	静岡3	2012/09/04	受信機交換
		2012/11/22	アンテナ更新・受信機交換
		2014/08/11	周辺伐採
		2019/01/25	周辺伐採
93085	西伊豆	2012/12/03	アンテナ更新・受信機交換
		2021/11/14	受信機交換
990838	南伊豆1A	2012/10/22	アンテナ更新
		2018/01/19	受信機交換
990840	焼津A	2012/11/29	アンテナ更新・受信機交換
		2014/06/04	周辺伐採
		2015/06/04	アンテナ交換
		2019/11/19	受信機交換
960620	賀茂	2012/10/22	アンテナ更新・受信機交換
		2019/10/24	受信機交換
		2020/11/14	アンテナ更新・レドーム交換
091178	御前崎A	2012/11/28	アンテナ更新・受信機交換
		2019/10/09	受信機交換
		2020/12/16	受信機交換

第21図 駿河湾周辺 GNSS 連続観測点観測結果（基線図及び保守状況）。

Fig. 21 Results of continuous GNSS measurements around the Suruga Bay (Baseline map and history of the site maintenance).

駿河湾周辺 GNSS 連続観測時系列 (2)

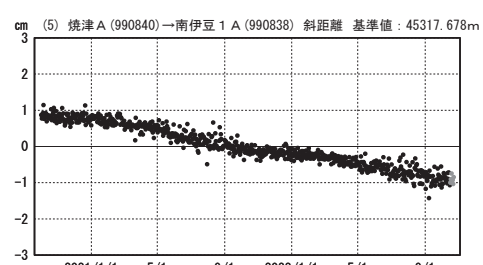
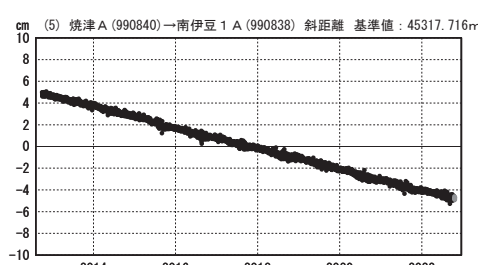
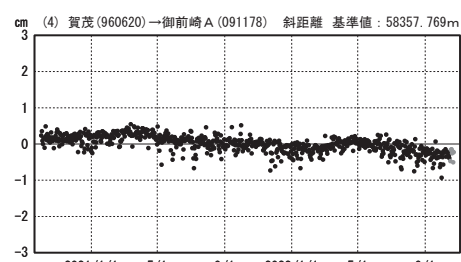
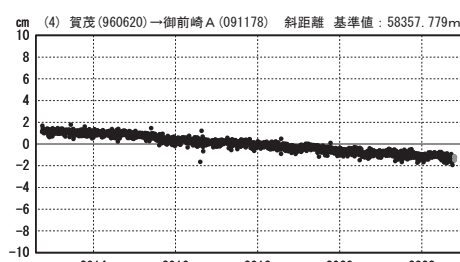
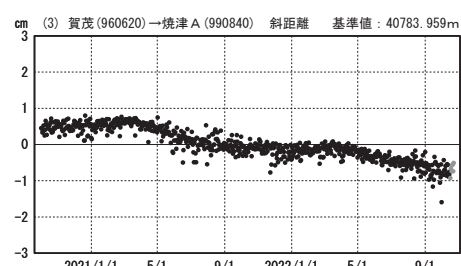
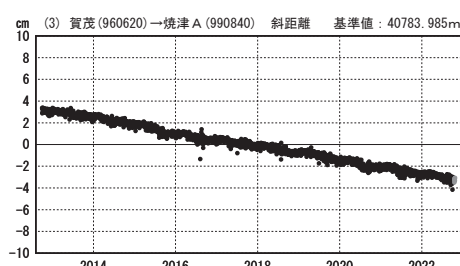
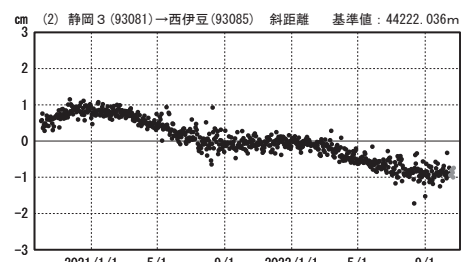
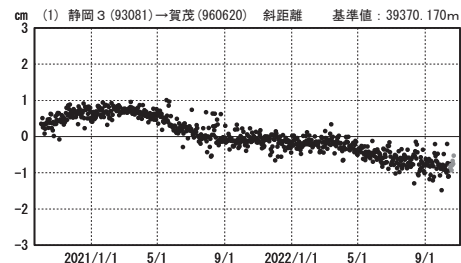
基線変化グラフ（長期）

期間：2012/10/01～2022/10/22 JST



基線変化グラフ（短期）

期間：2020/10/01～2022/10/22 JST



●---[F5:最終解] ●---[R5:速報解]

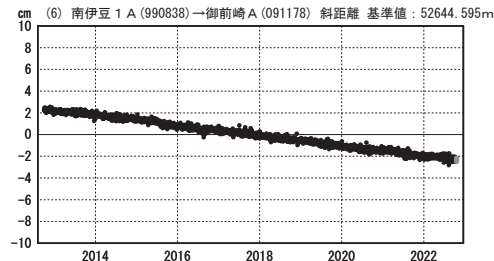
第22図 駿河湾周辺 GNSS 連続観測点観測結果（斜距離）(1).

Fig. 22 Results of continuous GNSS measurements around the Suruga Bay (baseline length)(1/2).

駿河湾周辺 GNSS 連続観測時系列 (3)

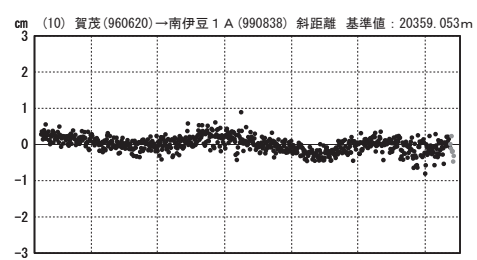
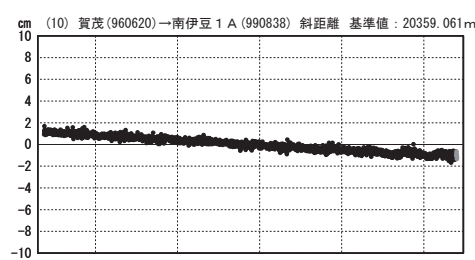
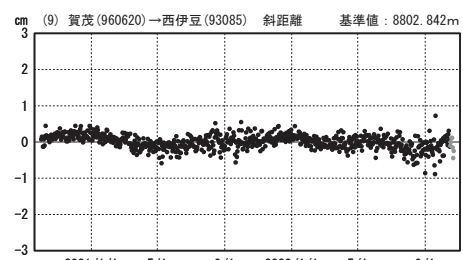
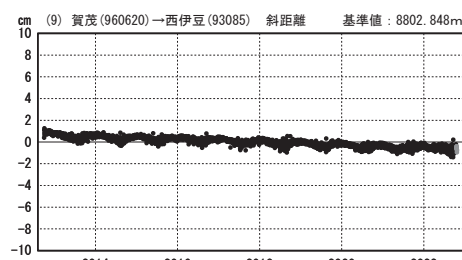
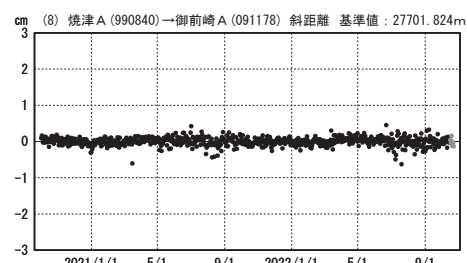
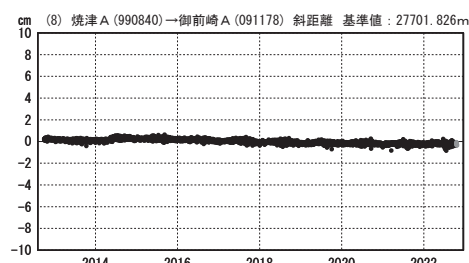
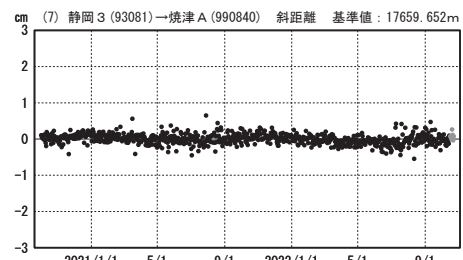
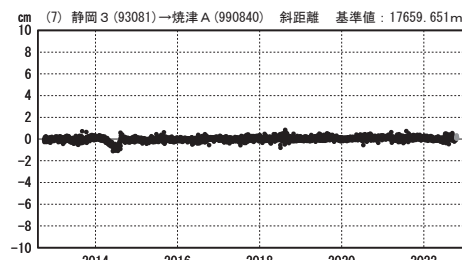
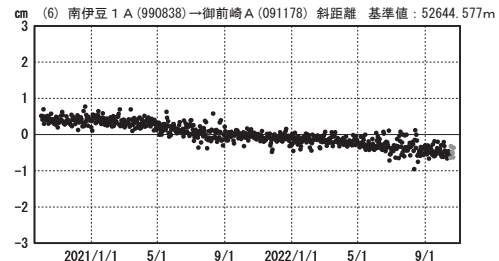
基線変化グラフ（長期）

期間：2012/10/01～2022/10/22 JST



基線変化グラフ（短期）

期間：2020/10/01～2022/10/22 JST



●---[F5:最終解] ●---[R5:速報解]

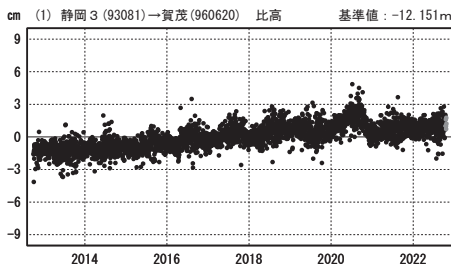
第23図 駿河湾周辺GNSS連続観測点観測結果（斜距離）(2).

Fig. 23 Results of continuous GNSS measurements around the Suruga Bay (baseline length) (2/2).

駿河湾周辺 GNS S連続観測時系列 (4)

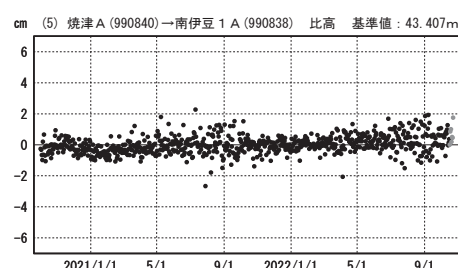
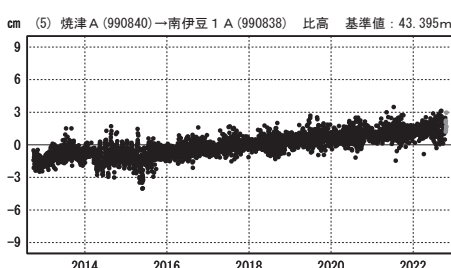
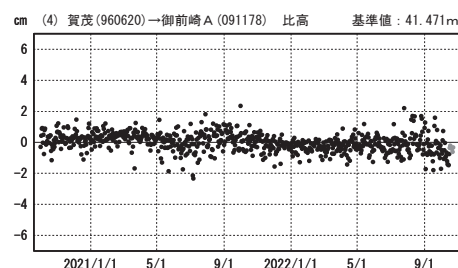
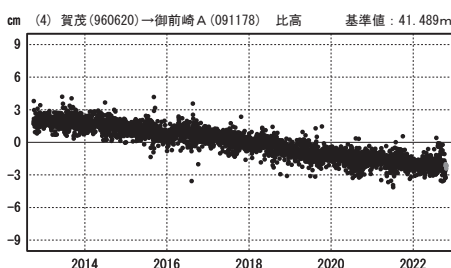
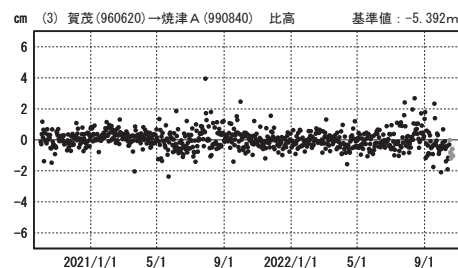
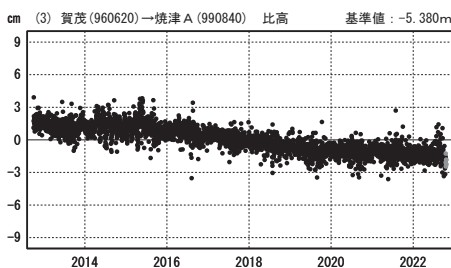
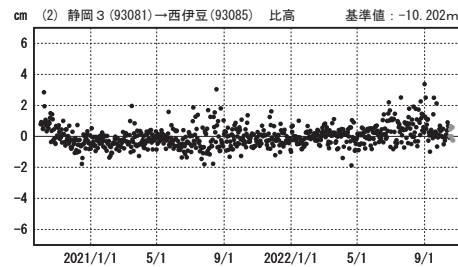
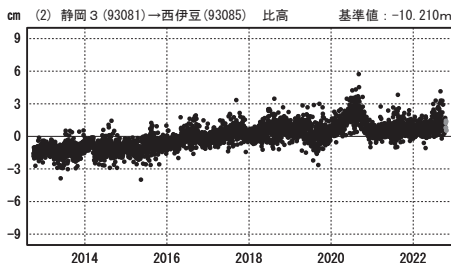
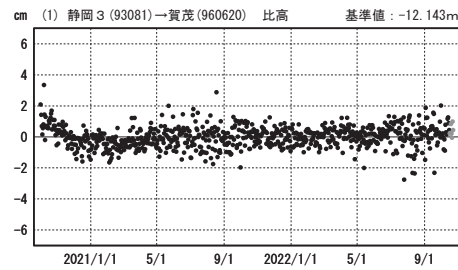
基線変化グラフ（長期）

期間：2012/10/01～2022/10/22 JST



基線変化グラフ（短期）

期間：2020/10/01～2022/10/22 JST



●---[F5:最終解] ●---[R5:速報解]

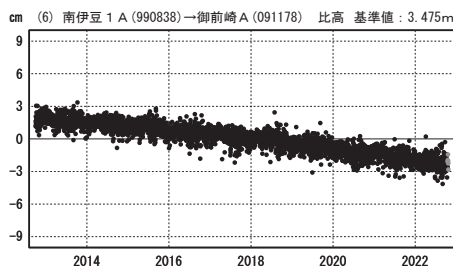
第24図 駿河湾周辺GNSS連続観測点観測結果（比高）(1).

Fig. 24 Results of continuous GNSS measurements around the Suruga Bay (relative height) (1/2).

駿河湾周辺 GNS S連続観測時系列 (5)

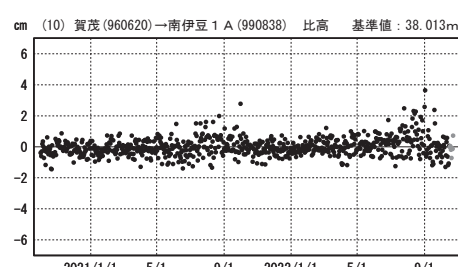
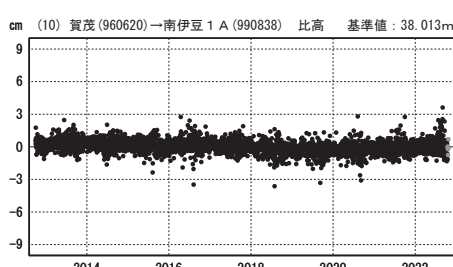
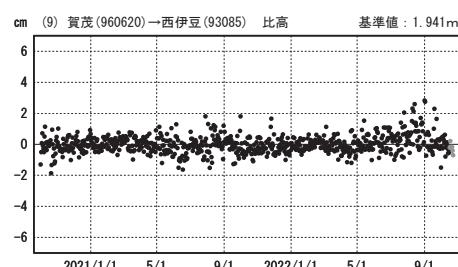
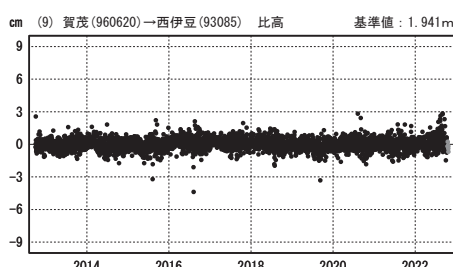
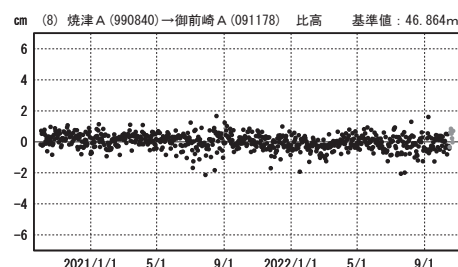
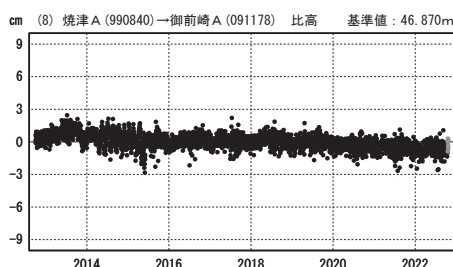
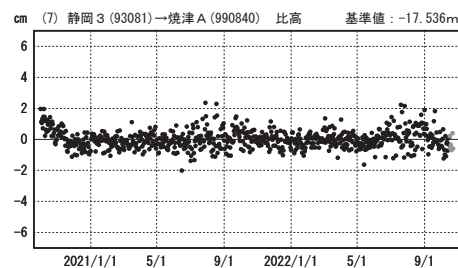
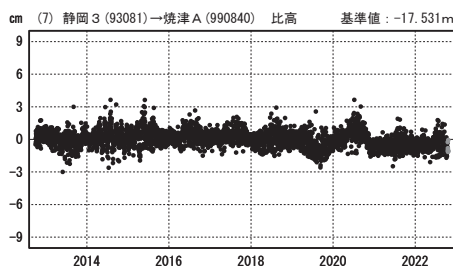
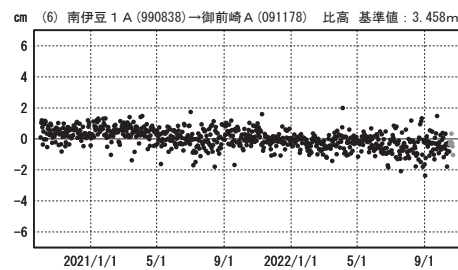
基線変化グラフ（長期）

期間：2012/10/01～2022/10/22 JST



基線変化グラフ（短期）

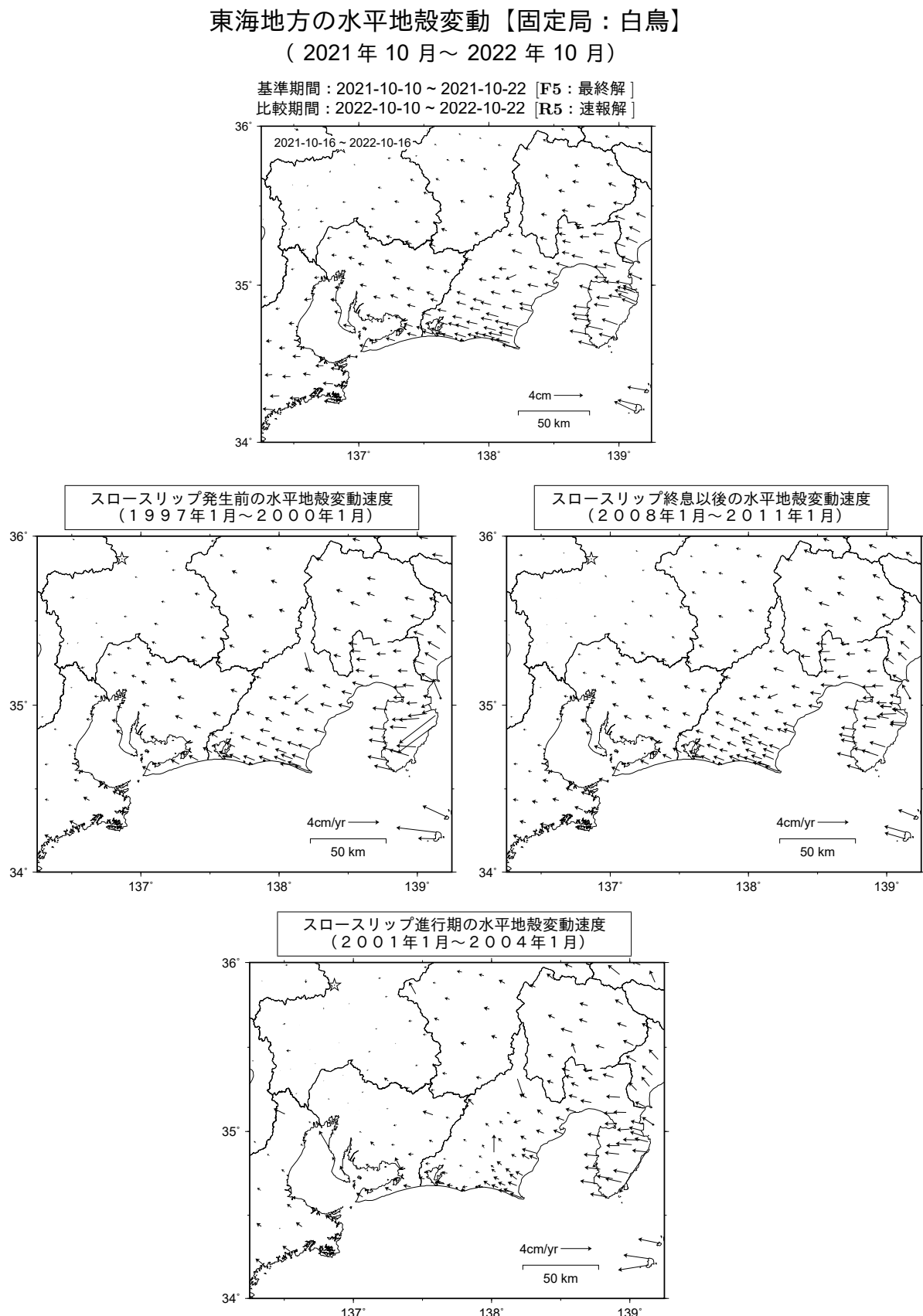
期間：2020/10/01～2022/10/22 JST



●---[F5:最終解] ●---[R5:速報解]

第25図 駿河湾周辺GNSS連続観測点観測結果（比高）(2).

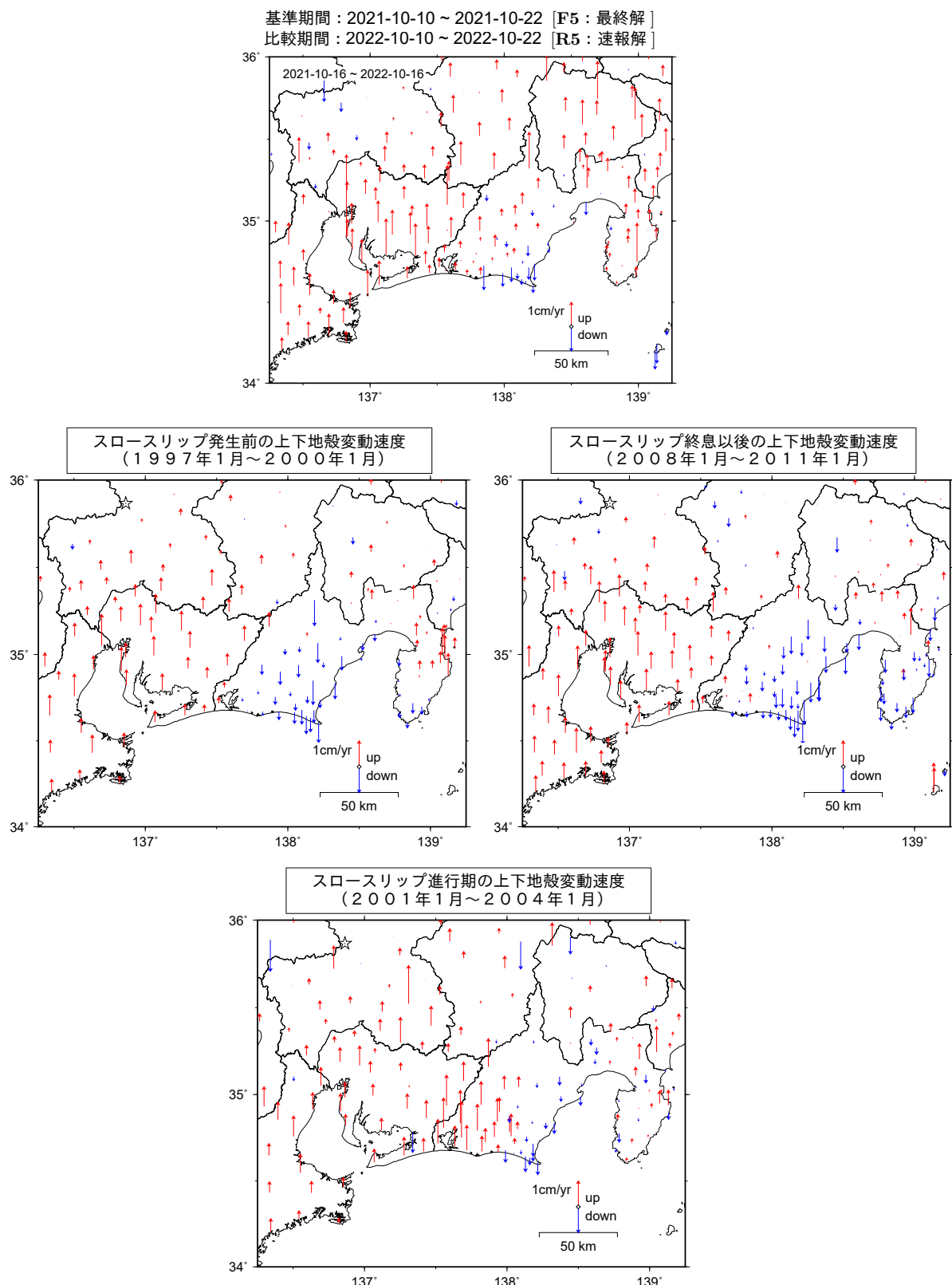
Fig. 25 Results of continuous GNSS measurements around the Suruga Bay (relative height) (2/2).



第26図 GNSS観測による東海地方の最近1年間の水平変動及びスロースリップ開始前・進行期・終息後の水平変動速度(白鳥固定).

Fig. 26 Horizontal deformation of recent 1 year in the Tokai region based on GNSS measurements and horizontal deformation rates before (middle left), during (lower) and after (middle right) the Tokai slow slip (fixed Shirotori).

東海地方の上下地殻変動【固定局：白鳥】
 (2021年10月～2022年10月)



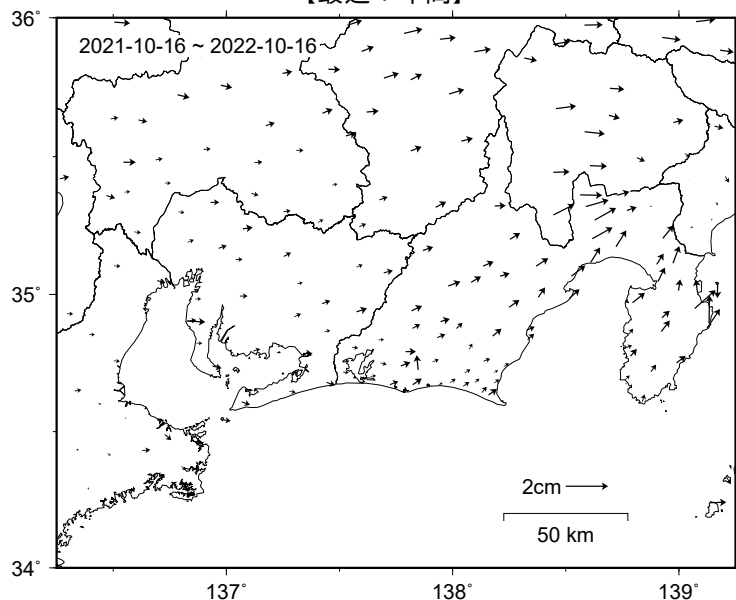
第27図 GNSS観測による東海地方の最近1年間の水平変動及びスロースリップ開始前・進行期・終息後の上下変動速度(白鳥固定).

Fig. 27 Vertical deformation of recent 1 year in the Tokai region based on GNSS measurements and vertical deformation rates before (middle left), during (lower) and after (middle right) the Tokai slow slip (fixed Shirotori).

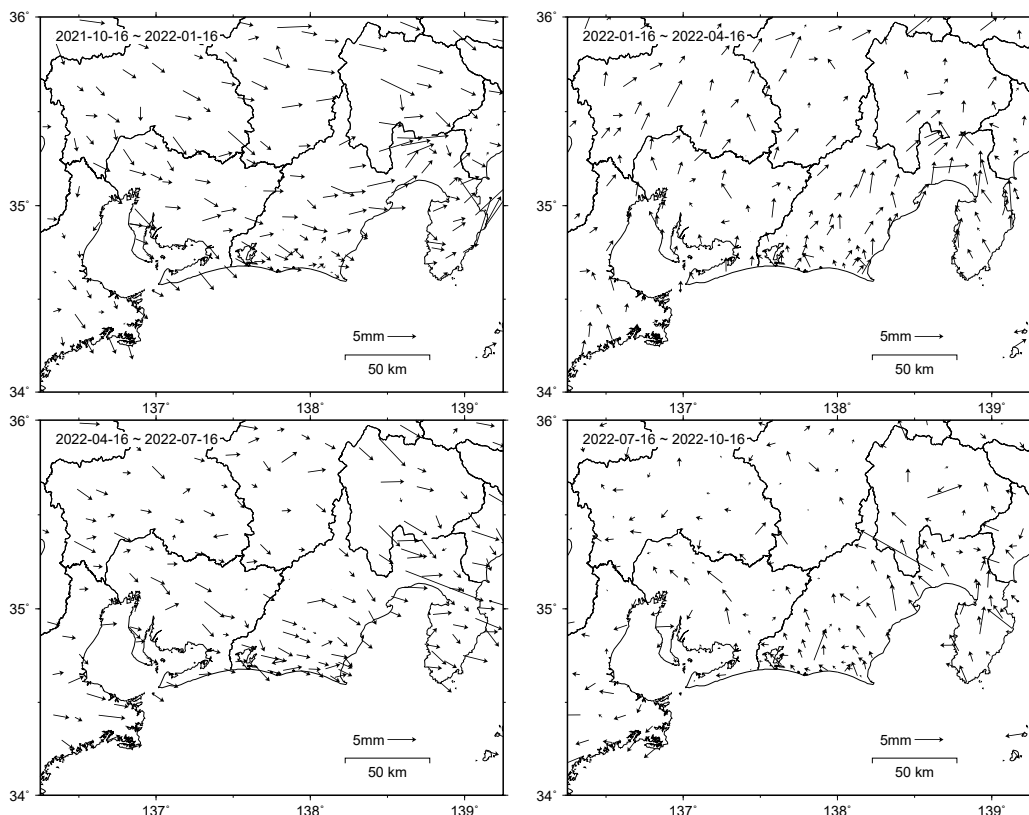
東海地方の非定常水平地殻変動【固定局：三隅】

(2021年10月～2022年10月)

【最近1年間】



【最近1年間3か月ごと】



- GEONETによる日々の座標値(F5解、R5解)を使用している。
- 非定常地殻変動時系列のうち、各日付±6日の計13日間の変動量の中央値をとり、その差から1年間と3か月間の変動量を表示している。

※非定常地殻変動時系列：

2008年1月から2011年1月のデータから平均変動速度、年周／半年周成分を推定して、元の時系列データから除去した時系列。

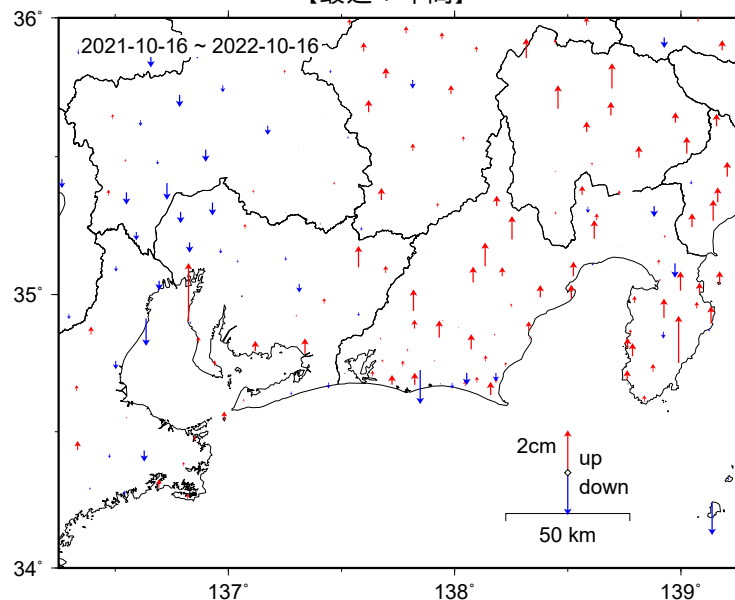
第28図 GNSS観測による東海地方の最近1年間と3か月ごとの非定常地殻変動(水平変動).

Fig. 28 Transient horizontal deformation of recent 1 year and every 3 months in the Tokai region.

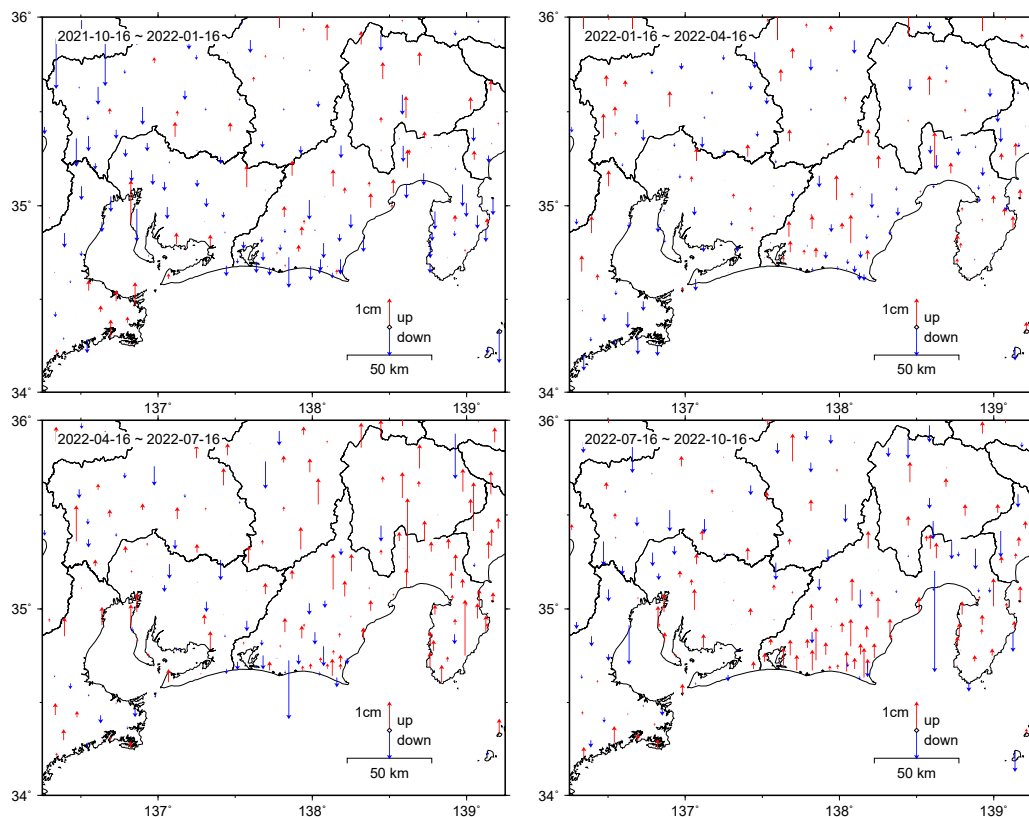
東海地方の非定常上下地殻変動【固定局：三隅】

(2021年10月～2022年10月)

【最近1年間】



【最近1年間3か月ごと】



・GEONETによる日々の座標値(F5解、R5解)を使用している。

・非定常地殻変動時系列のうち、各日付±6日の計13日間の変動量の中央値をとり、その差から1年間と3か月間の変動量を表示している。

※非定常地殻変動時系列：

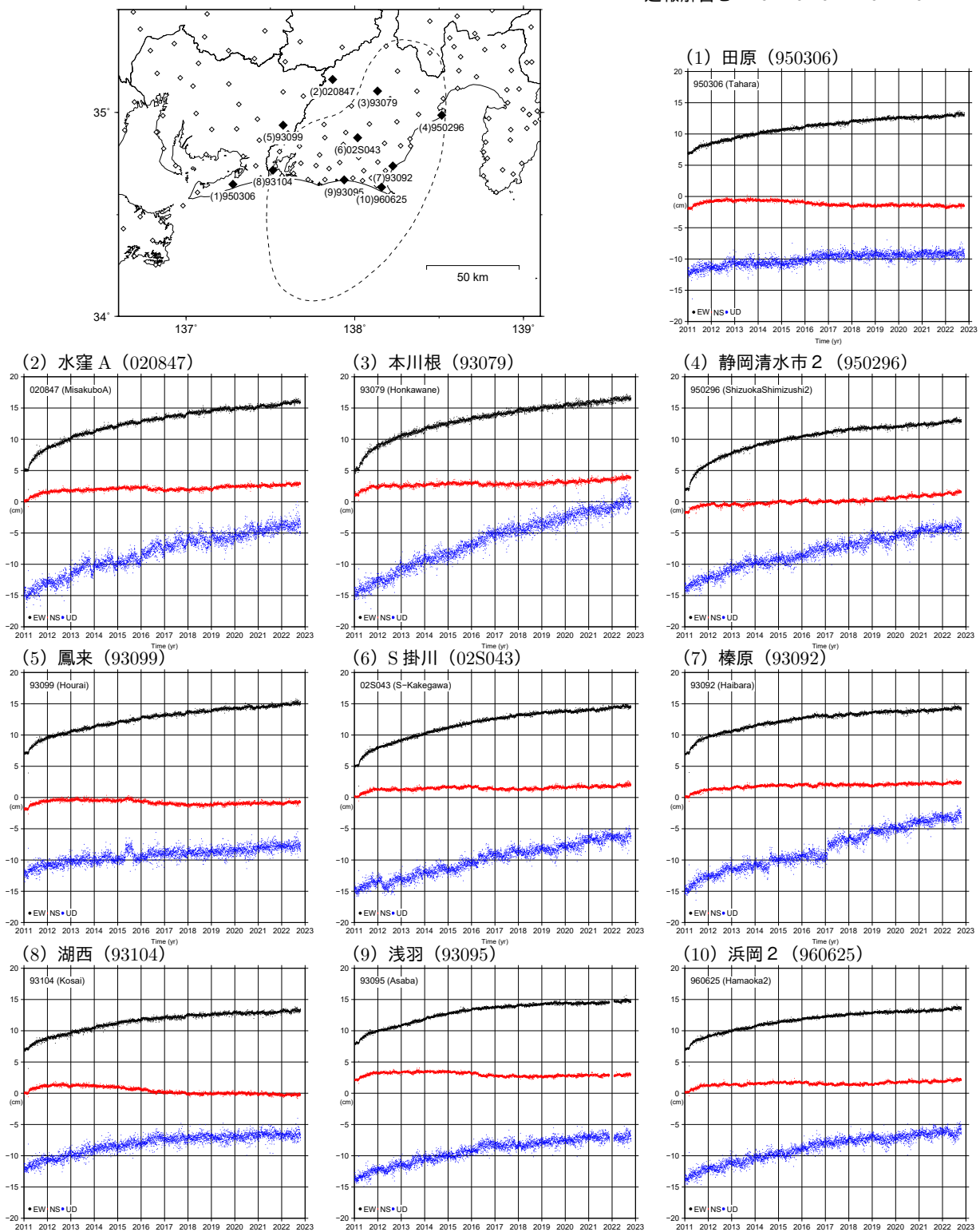
2008年1月から2011年1月のデータから平均変動速度、年周／半年周成分を推定して、元の時系列データから除去した時系列。

第29図 GNSS観測による東海地方の最近1年間と3か月ごとの非定常地殻変動(上下変動)。

Fig. 29 Transient vertical deformation of recent 1 year and every 3 months in the Tokai region.

東海地方の非定常地殻変動時系列【固定局：三隅】

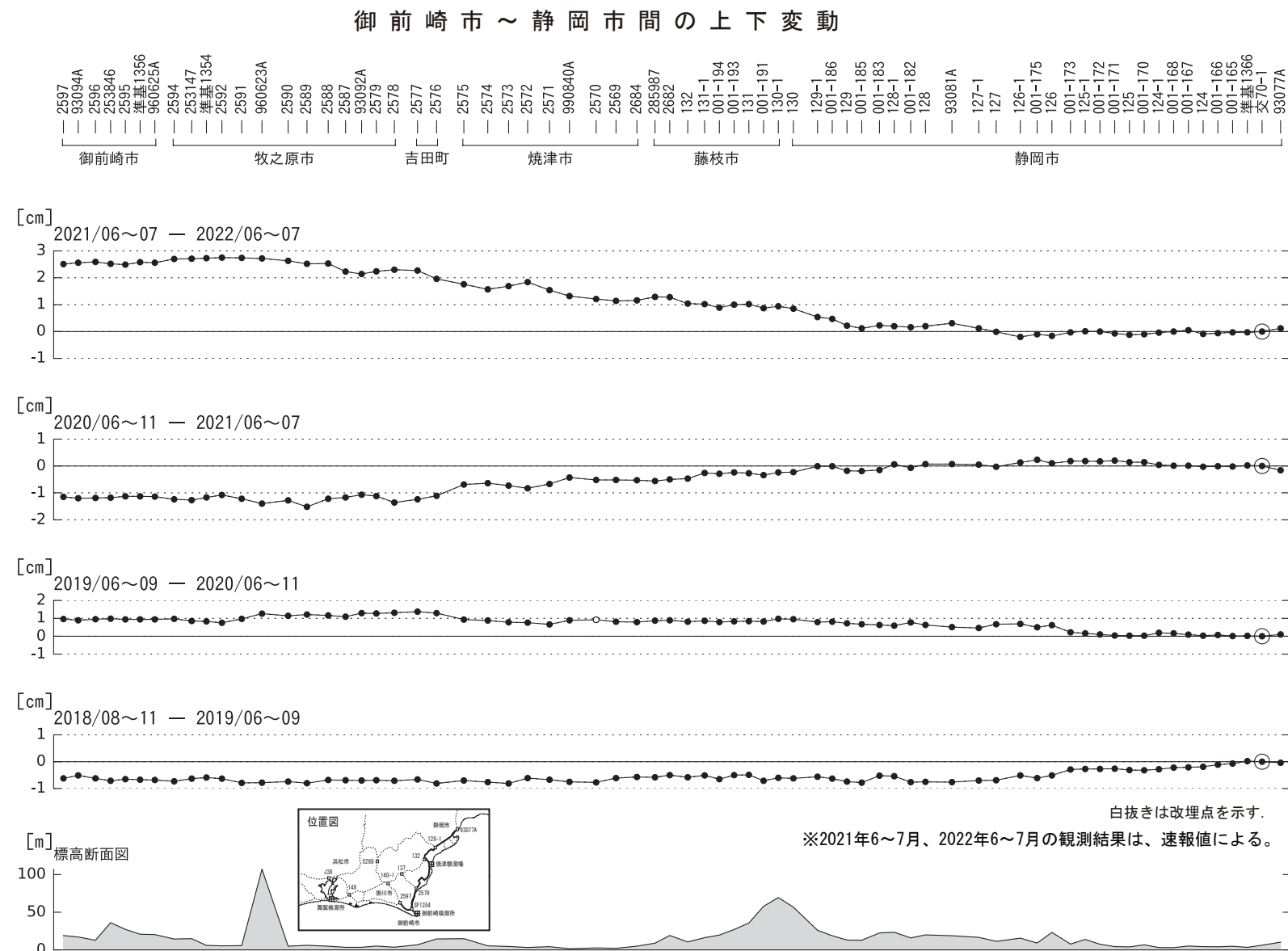
速報解説 2011-01-01 ~ 2022-10-22



- GEONETによる日々の座標値(F5解、R5解)を使用している。
- 2008年1月1日～2011年1月1日のデータから平均変動速度、年周/半年周成分を推定して、元の時系列データから除去している。
- 平成23年(2011年)東北地方太平洋沖地震による地殻変動の影響は取り除いている。
- 平成28年(2016年)熊本地震による固定局三隅の地殻変動は補正している。

第30図 東海地方の非定常地殻変動時系列。

Fig. 30 Time series of transient deformation at selected stations in the Tokai region.



第31図 水準測量による御前崎市～静岡市間の上下変動。

Fig. 31 Results of leveling survey along the leveling route from Omaezaki city to Shizuoka city.